

相対論的衝撃波の Particle-in-Cellシミュレーション

松本洋介
千葉大学

岩本昌倫、天野孝伸、星野真弘（東大理）
加藤恒彦（NAOJ）
高本亮（東大→NEC）

内容

1. 数値シェレンコフ不安定の抑制

Ikeya & Matsumoto, PASJ, 2015

2. 相対論的衝撃波における大振幅先駆波励起と電子加速

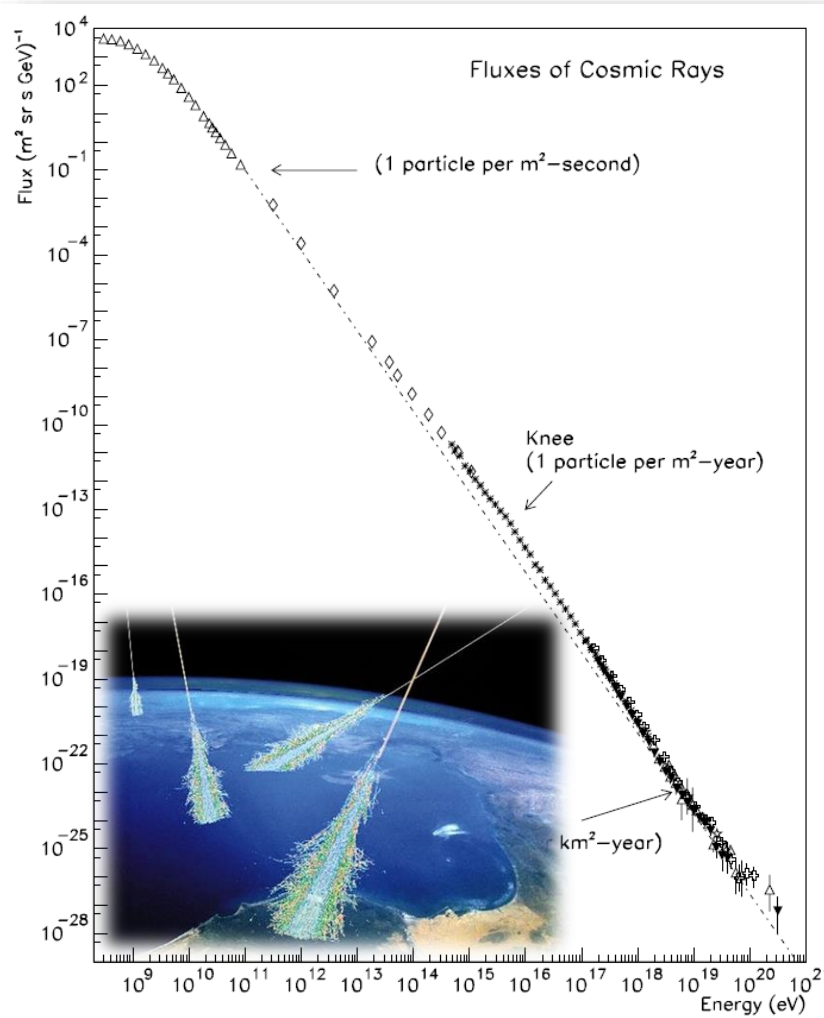
Iwamoto et al., ApJ, 2017; 2018

3. イオンワイベル不安定による磁場生成／飽和過程

Takamoto, Matsumoto, Kato, ApJL, 2018

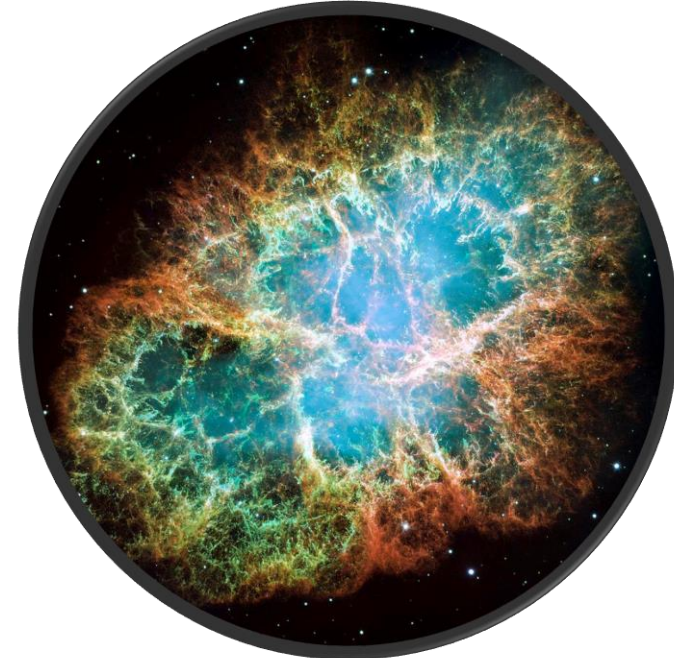
宇宙線の起源

地球に届く宇宙線のフラックス

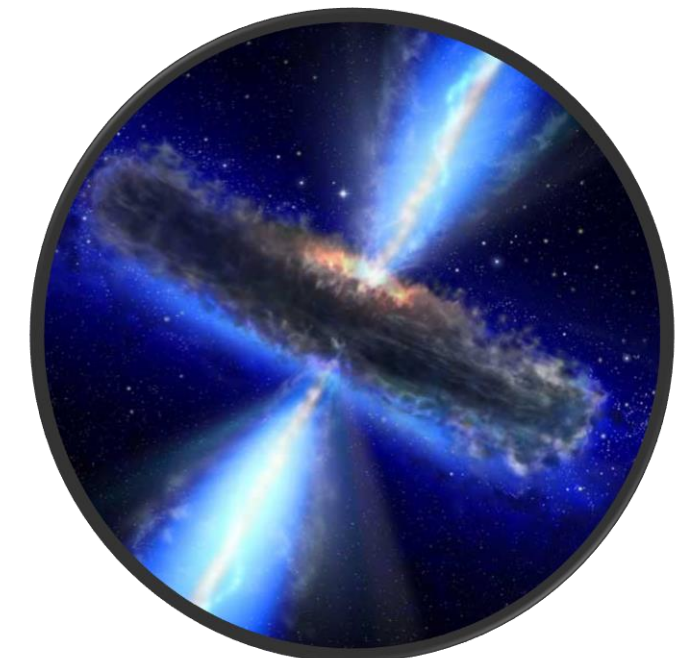


宇宙の爆発的現象に伴う**衝撃波**での
荷電粒子（陽子・電子）の加速メカニズムを探求

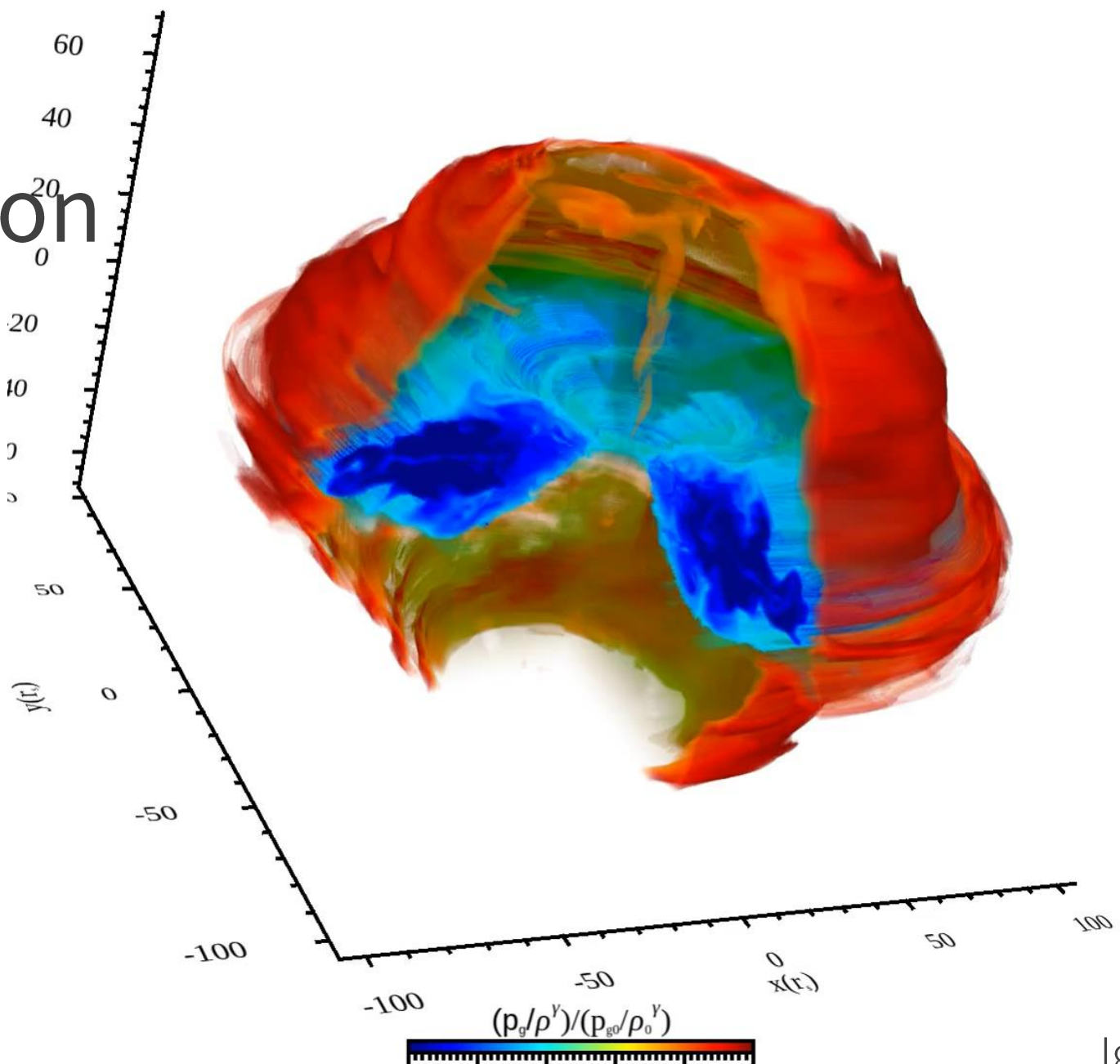
超新星爆発
(銀河宇宙線)



宇宙ジェット
(超高エネルギー宇宙線)



CANS+R (MHD + radiation transfer)



Igarashi+, in prep.

Particle-in-Cell simulation

Vlasov eq. as particle motions

$$\frac{d\mathbf{x}_p}{dt} = \frac{\mathbf{u}_p}{\gamma_p}$$

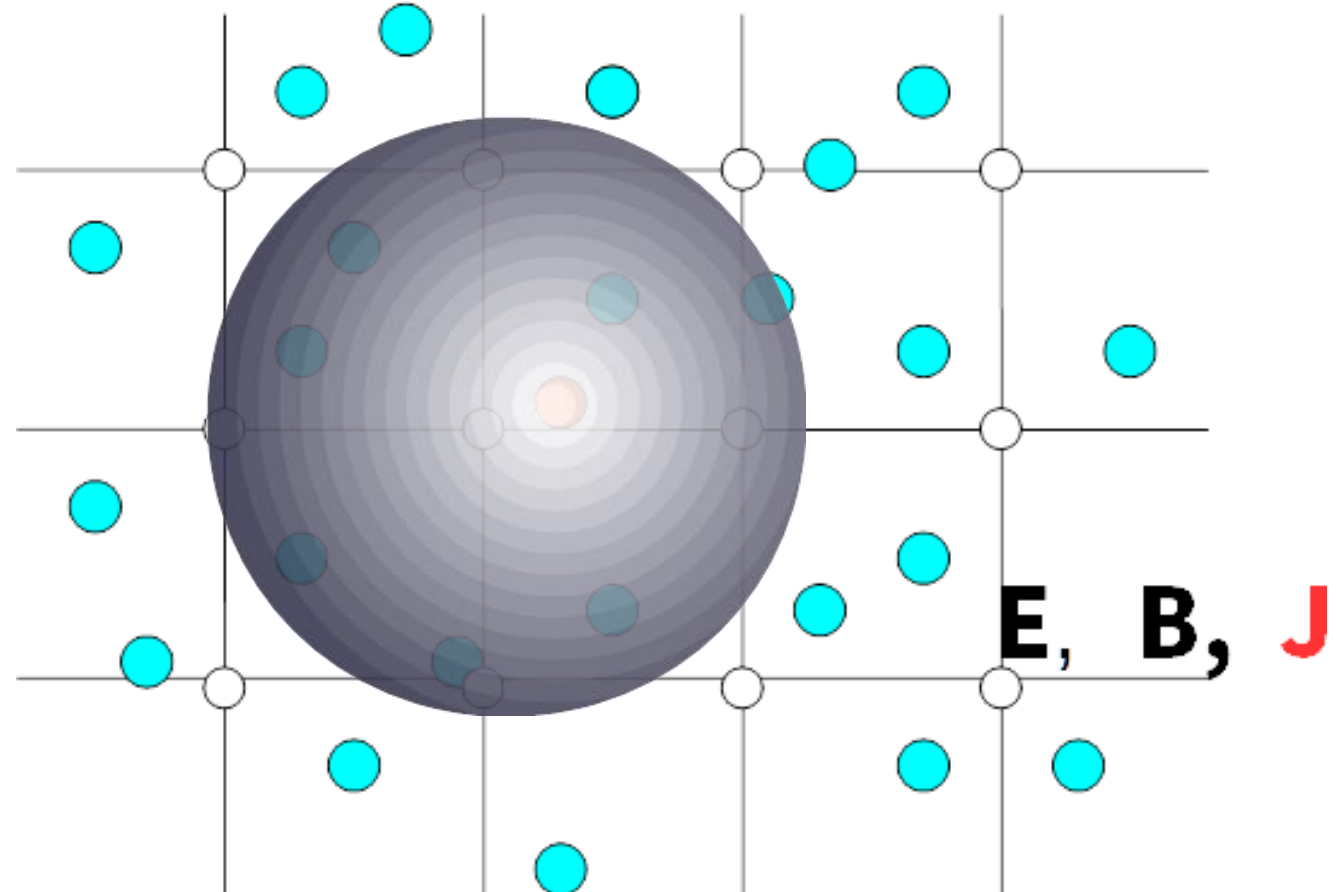
$$\frac{d\mathbf{u}_p}{dt} = \frac{q}{m} \left(\mathbf{E} + \frac{\mathbf{u}_p}{c \gamma_p} \times \mathbf{B} \right)$$

$$\mathbf{J} = \sum_p q_p \frac{\mathbf{u}_p}{\gamma_p}$$

Maxwell eqs. on grid points

$$\frac{\partial \mathbf{B}}{\partial t} = -c \nabla \times \mathbf{E}$$

$$\frac{\partial \mathbf{E}}{\partial t} = c \nabla \times \mathbf{B} - 4\pi \mathbf{J}$$



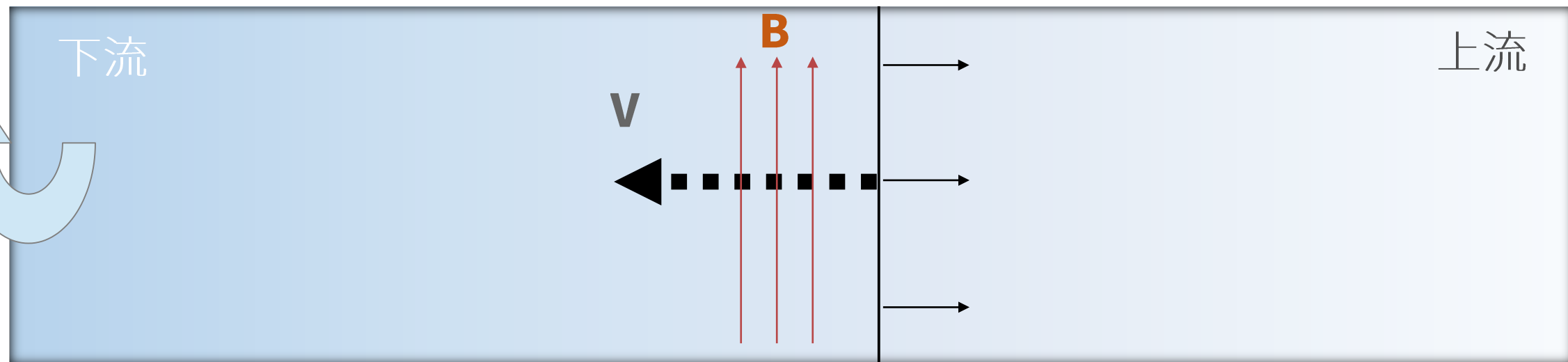
スパコンで衝撃波を作る

- 自家製 2D/3D particle-in-cell コード
- SIMD最適化
- MPI+OpenMP ハイブリッド並列
- 10^5 cores までスケール

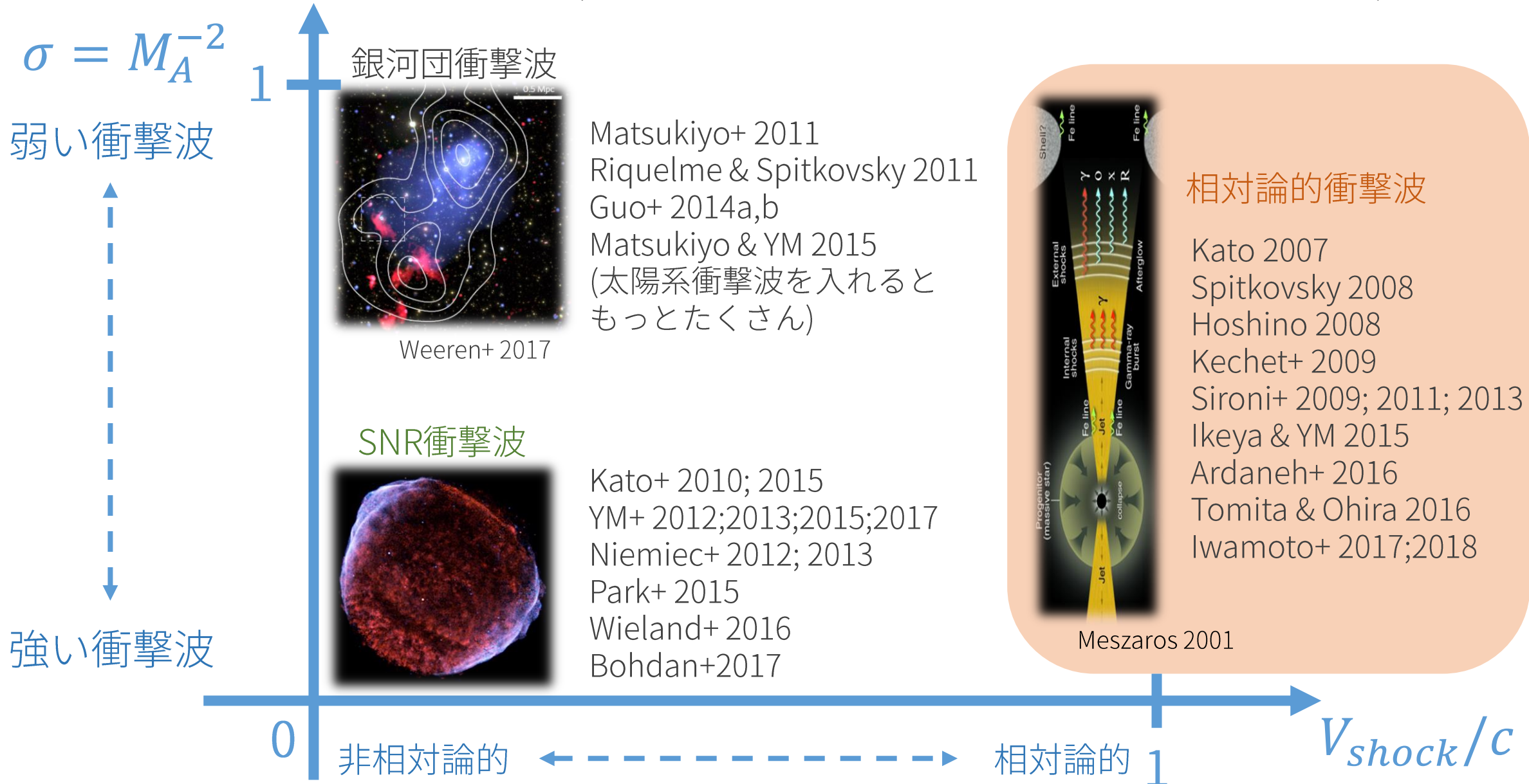


y

衝撃波下流静止系 (波面は右に伝搬)

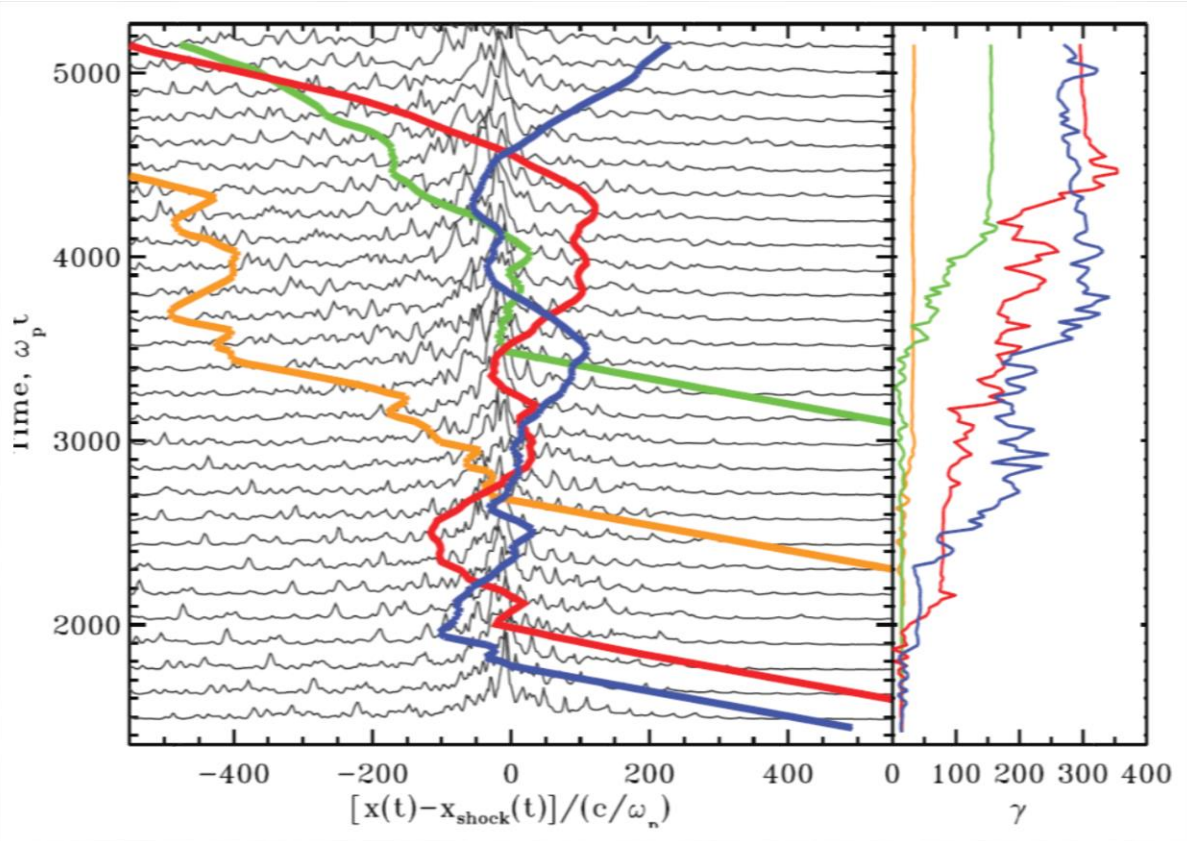


PICの世界動向 (TRISTAN-PIC 対 その他)

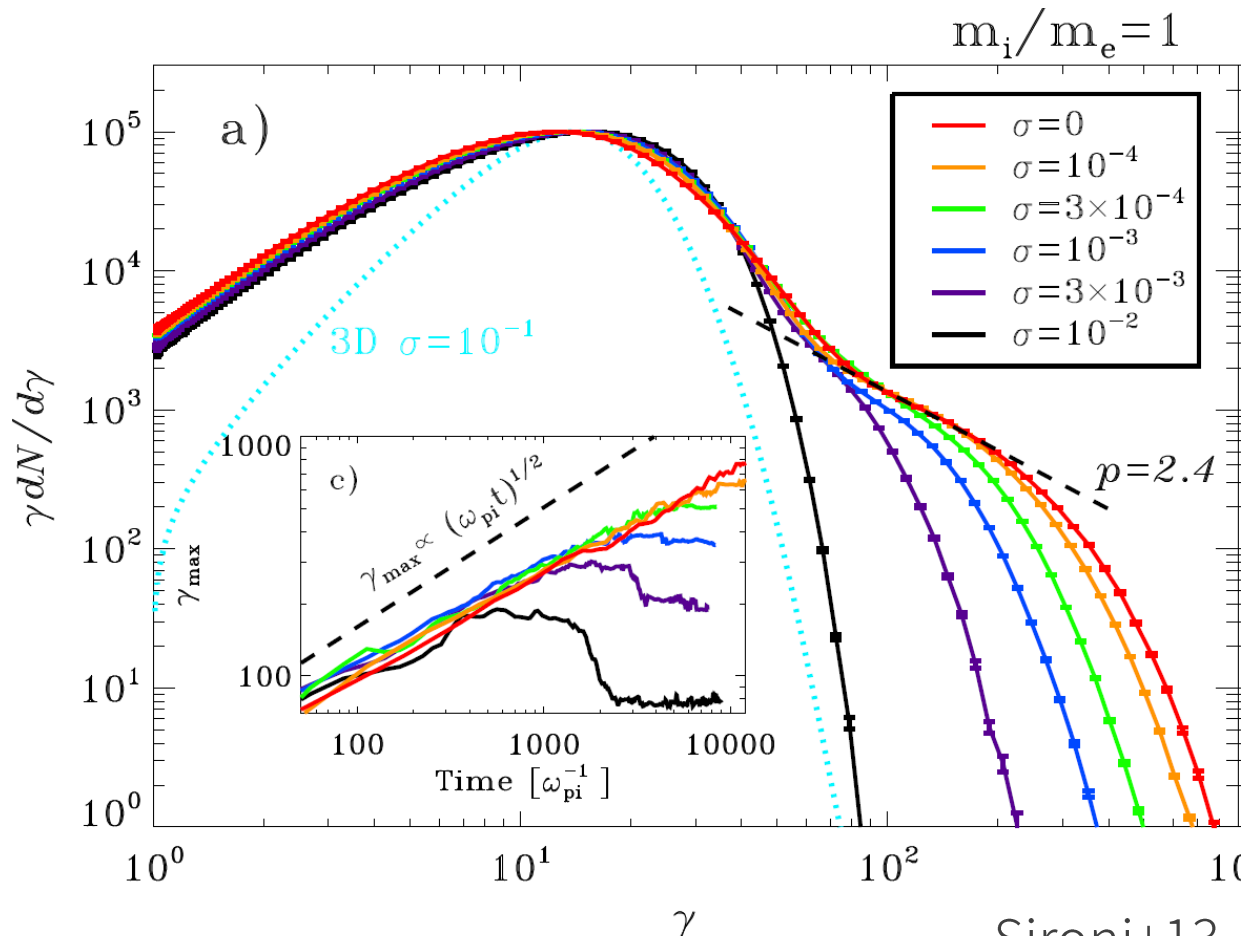


相対論的衝撃波のPICシミュレーションと 粒子加速

Weibel-mediated relativistic shock &
Fermi acceleration



Kato07; Spitkovsky08

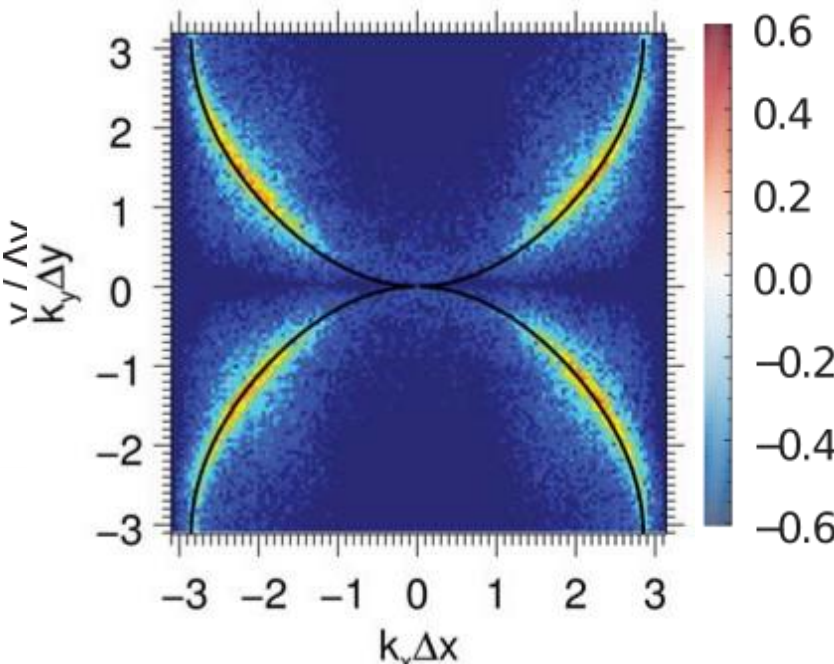


Sironi+13

数値 Chernoff 不安定の抑制

数値チエレンコフ不安定 (Godfrey74 JCP)

- ✓ 周期境界系
- ✓ X方向に相対論的流れ ($\gamma = 100$)



離散化した空間での光モードの分散関係

$$\sin^2\left(\frac{\omega\Delta t}{2}\right) = \frac{c^2\Delta x^2}{\Delta t^2} \sin^2\left(\frac{k_x\Delta x}{2}\right) + \frac{c^2\Delta y^2}{\Delta t^2} \sin^2\left(\frac{k_y\Delta y}{2}\right)$$

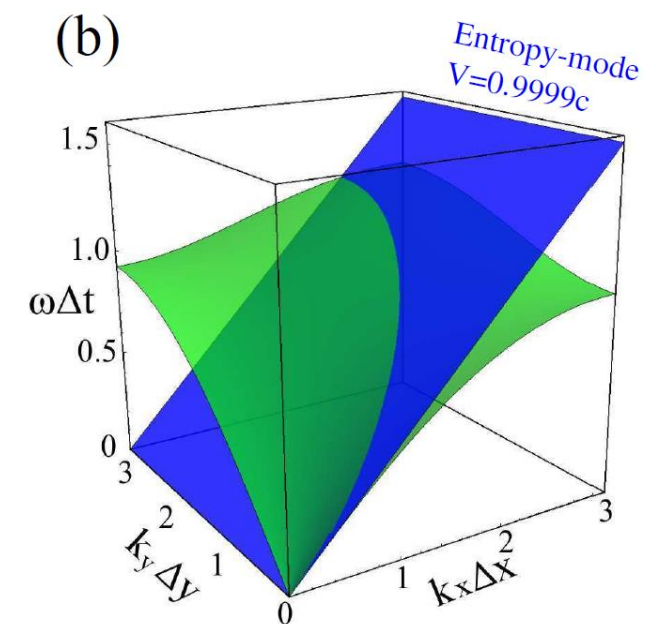
相対論的速度のビームとの共鳴

$$\omega = kV (V \sim c)$$

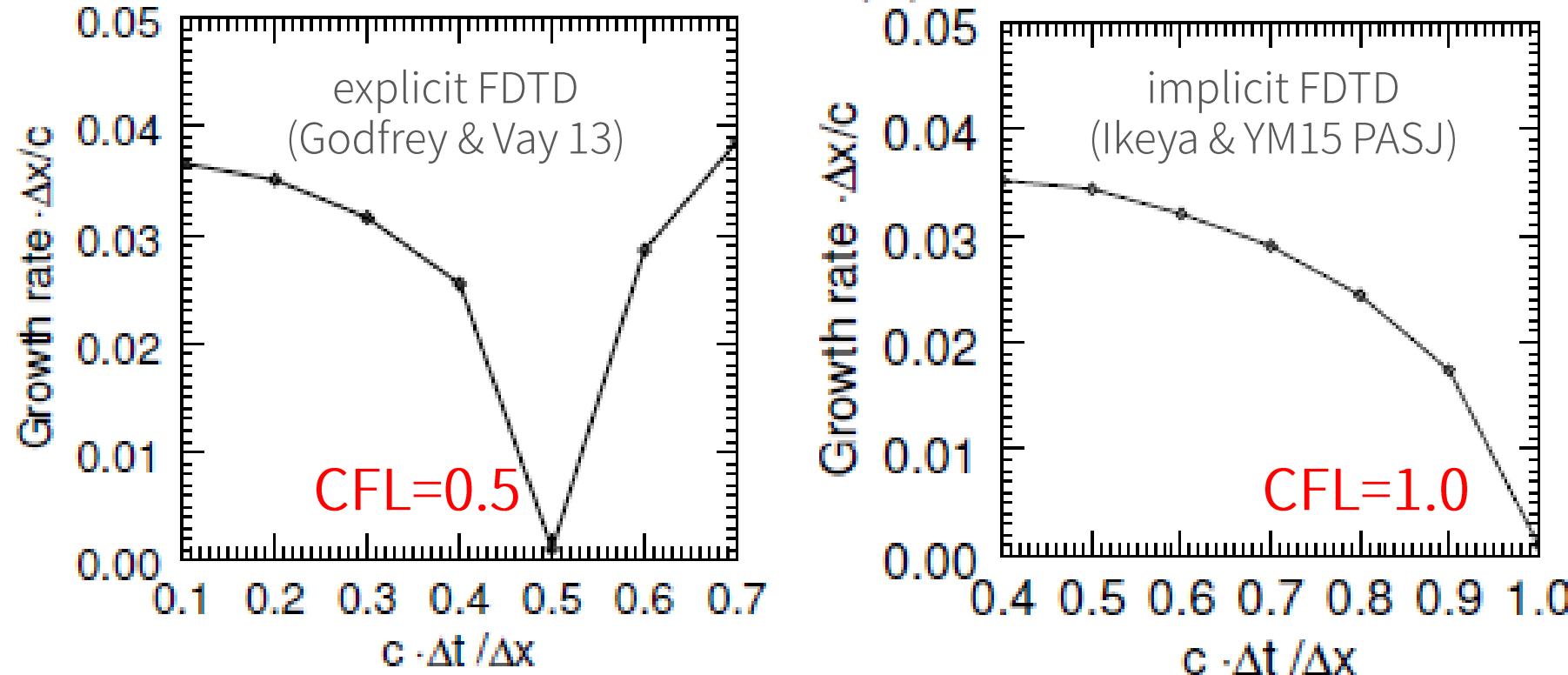
なので離散化された世界では物理的に正しい
(エネルギー保存はされる)

対処方法

- スペクトル法で解く (Kato07; Vay+ 13)
 - ✓ フーリエ空間でマクスウェル方程式を解く
 - ✓ 波数空間でNCIを除去
 - ✓ 大規模並列計算で効率が出ない
- FDTD (差分法)
 - ✓ J, E, B に対してフィルタリング (Greenwood+ 04; Sironi & Spitkovsky 09)
 - ✓ 物理的な電磁波も同時に落としてしまう

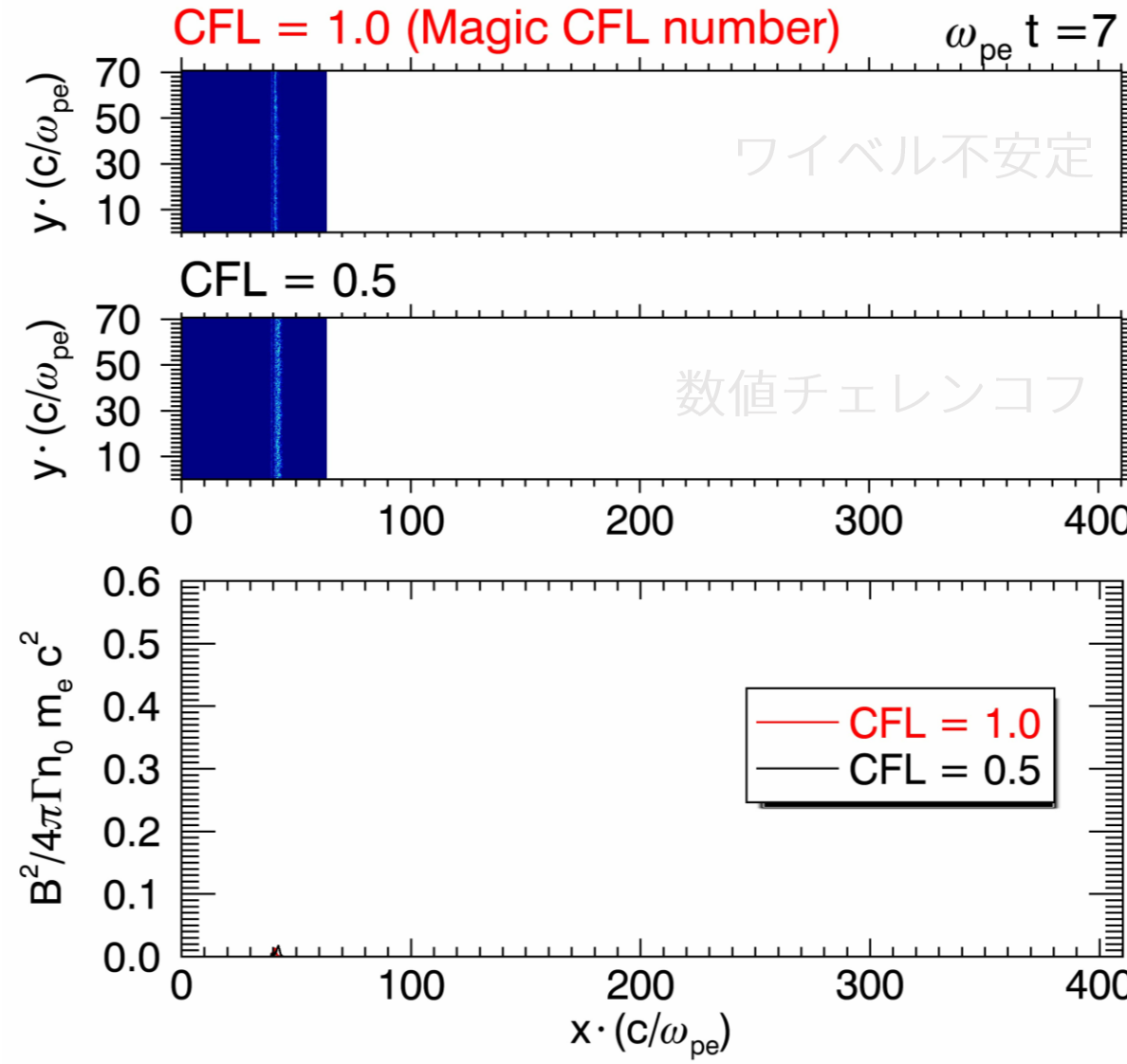


マジカルCFL数の発見 (Vay+11 JCP)

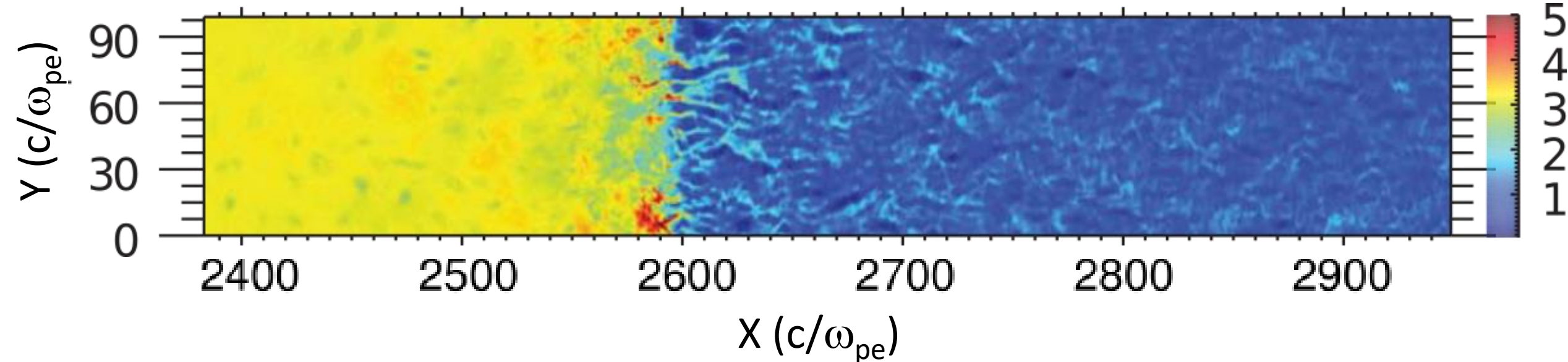


- NCIの成長率が特定のCFL数 ($c\Delta t/\Delta x$)で急激に減少することが発見 (Vay+ 11)
- PICアルゴリズムに強く依存
 - ✓ Esirkepovの電流計算法 (Esirkepov 00)
 - ✓ 電磁場に対して陽解法 (Godfrey & Vay 13) & 陰解法 (Ikeya & YM 15)
 - ✓ 粒子に対する電磁場の補間方法にも依存

マジカルCFL数を用いた陽電子・電子 相対論衝撃波計算 (上流ローレンツ因子=100)



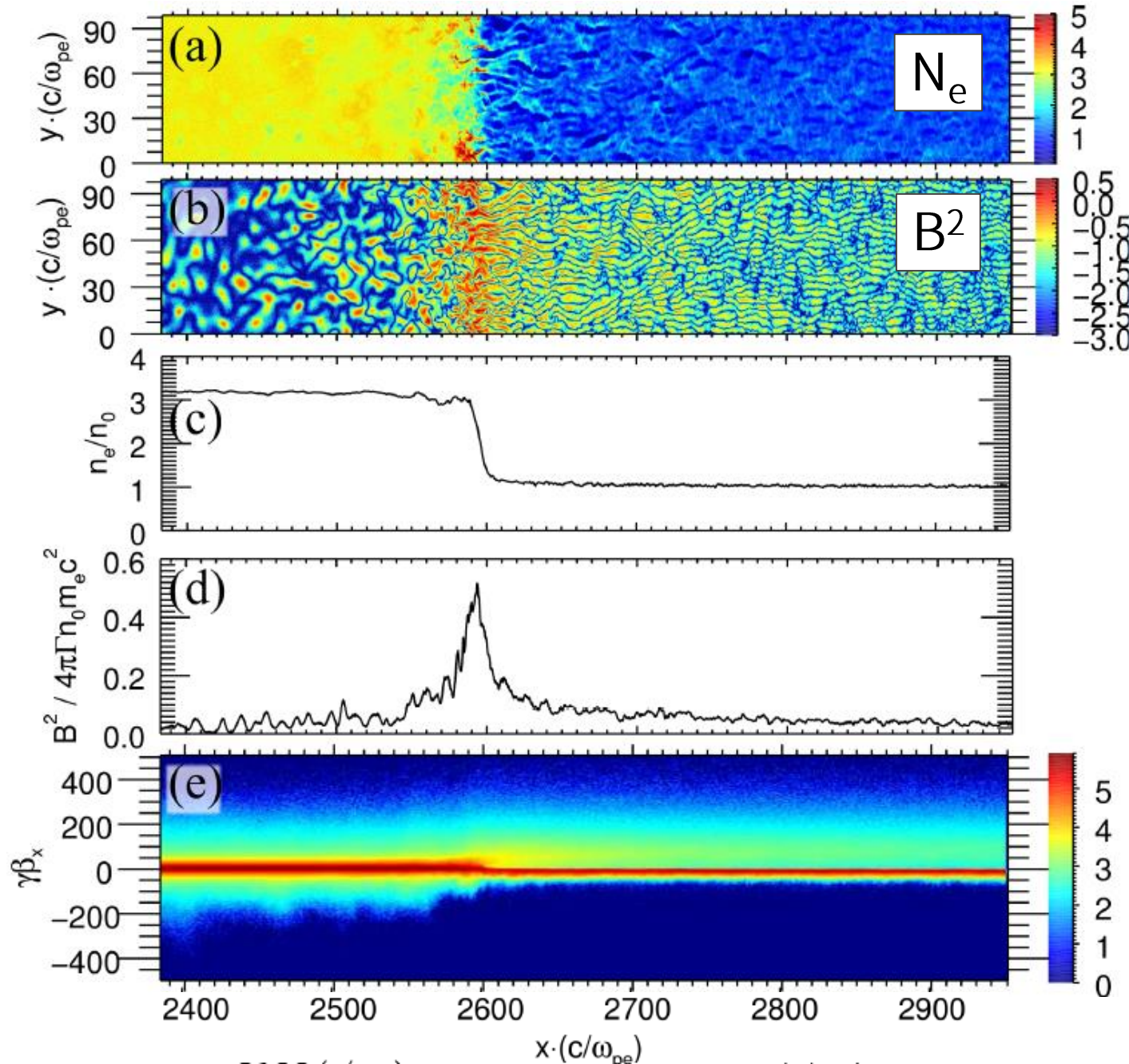
Long-term 2D PIC simulations



- ◻ Un-magnetized Weibel-mediated shocks in pair (e^+ & e^-) plasmas
- ◻ Magic CFL number method vs. previous results (smoothing current density, *cf.* Sironi+13)
- ◻ Long-term simulations $\omega_{pe}t \sim 6000$ to observe particle accelerations
- ◻ $\Gamma = 15$, $N_0 = 8, 16, 25, 50$ /cell in the upstream region
- ◻ $N_x \times N_y = 80,000 \times 1,400$
- ◻ 648 cores & 3.5TB memory on Cray XC30 at CfCA, NAOJ

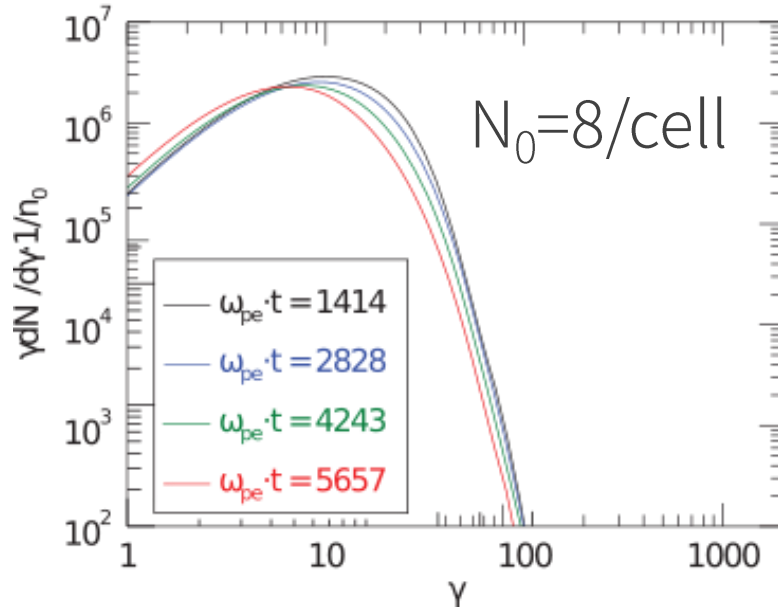
2D shock structure ($N_0=50$ /cell)

- ❑ Basically followed Sironi+ 13
- ❑ Weibel filaments in far upstream regions
- ❑ ~10 times stronger magnetic field turbulence
- ❑ Present method can maintain magnetic fields in larger amplitudes

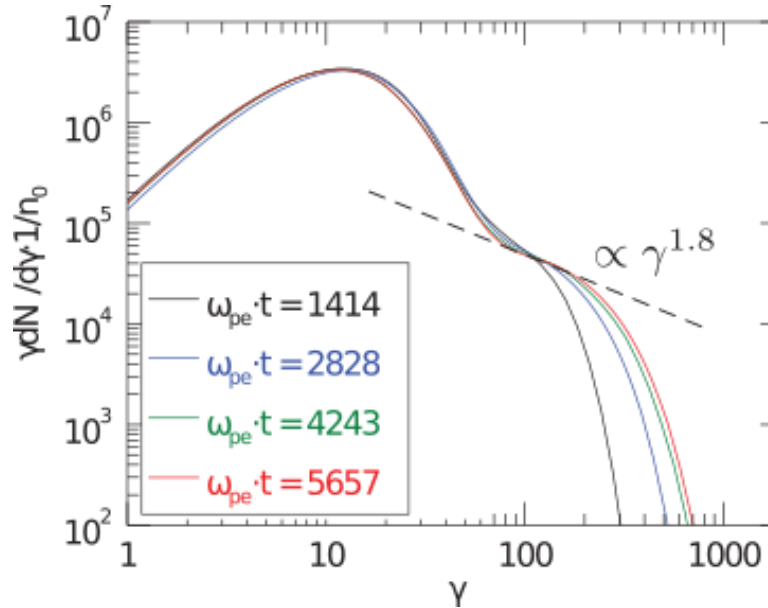


Time evolutions of downstream energy spectrum

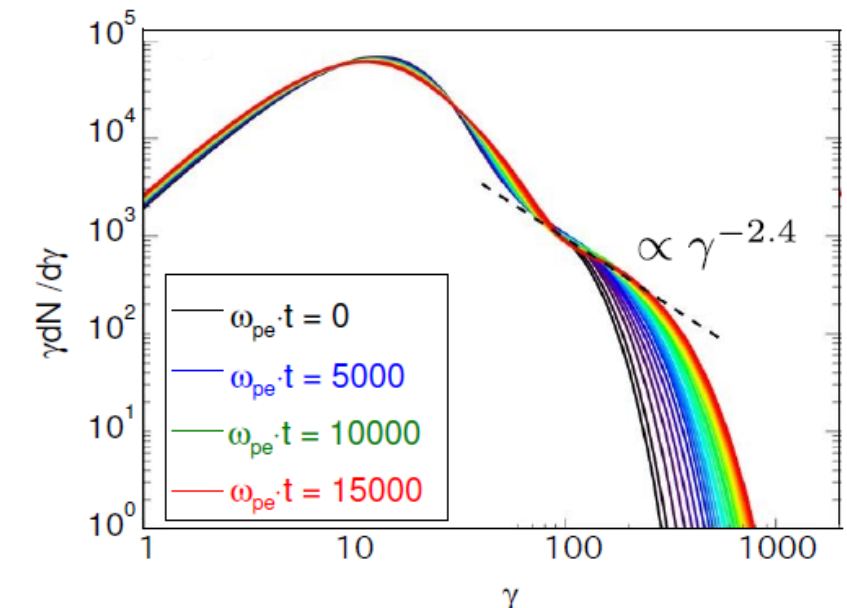
CFL=0.5 (Non-magic)



$N_0=50/\text{cell}$, CFL=1.0



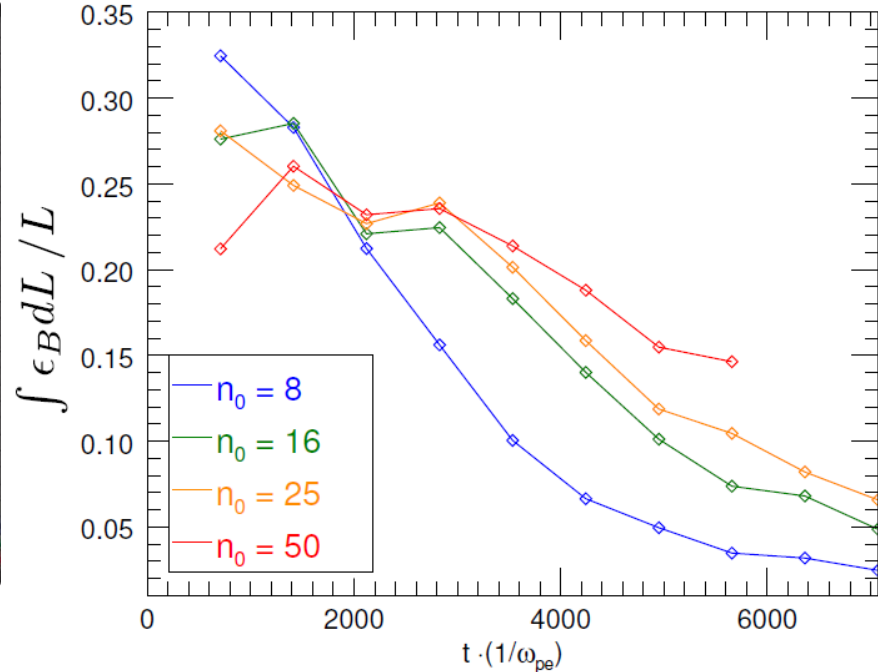
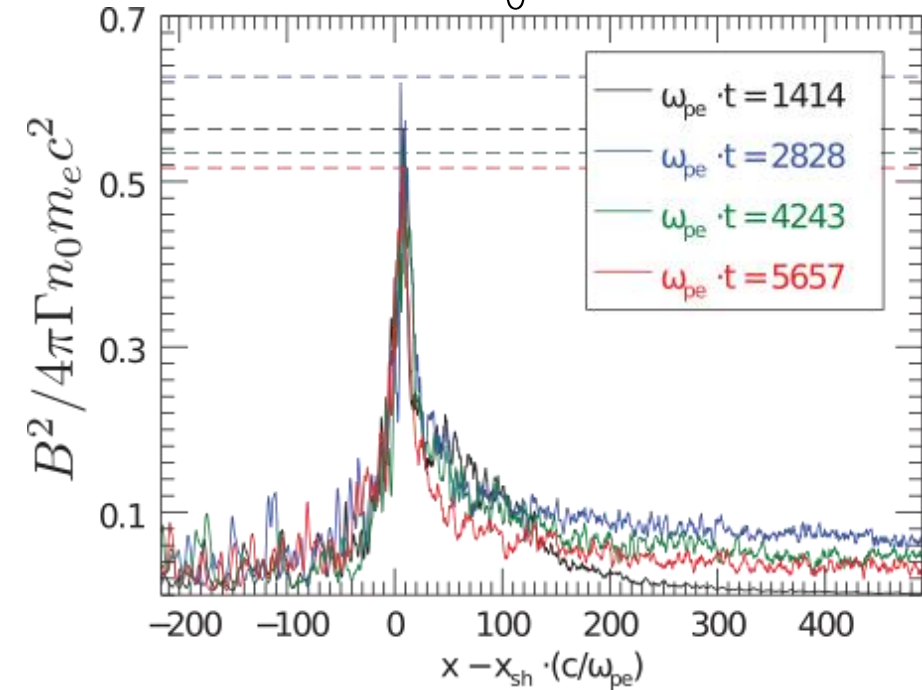
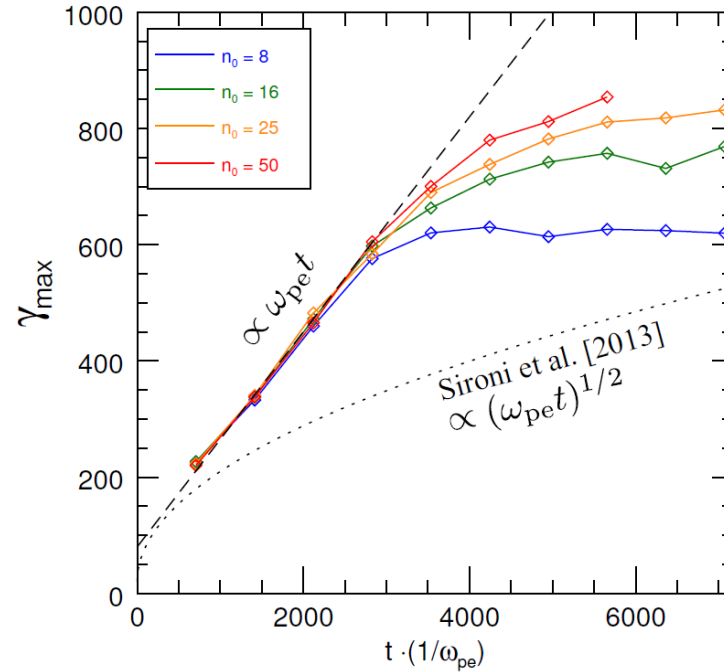
Sironi+13



- ❑ No efficient acceleration with NCI
- ❑ Efficient accelerations were obtained by using Magic CFL number method
- ❑ Spectral index -1.8 vs. -2.4

γ_{\max} time evolutions

$N_0=50$

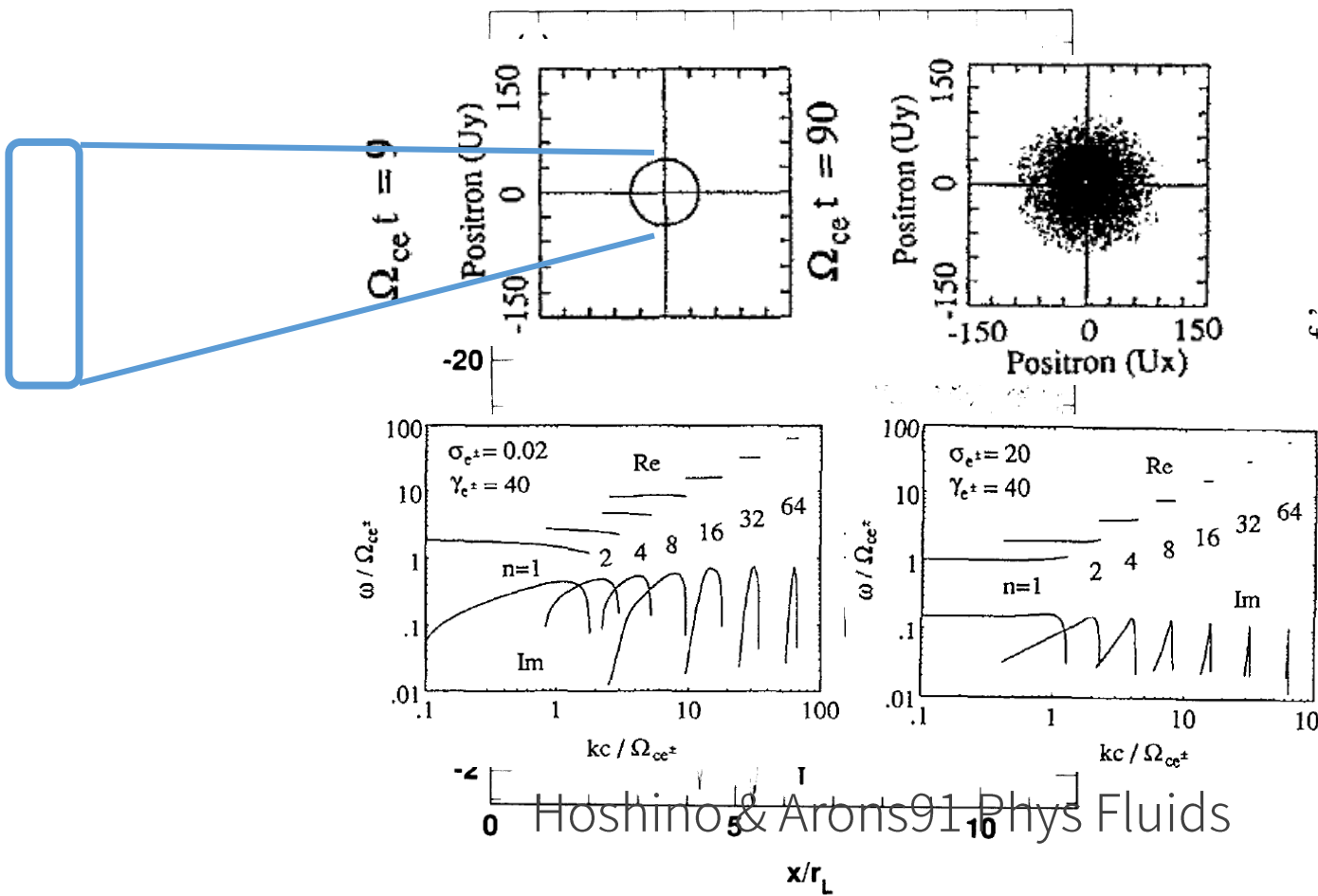


- Rapid acceleration until $\omega_{pe}t \sim 3000$ due to strong magnetic turbulence around the shock front ($\gamma_{max} \propto t$)
- Followed by slow acceleration stage due to decay of the Weibel magnetic turbulence ($\gamma_{max} \propto t^{1/2}$ by Sironi+ 13)
- Results seemed to be converged with $n_0=50$

相対論的衝撃波からの大振幅
先駆波励起と電子加速

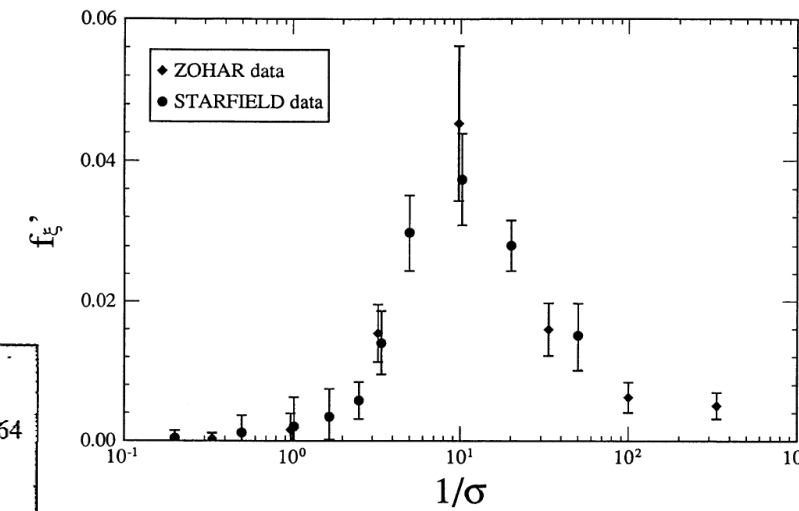
1990s~1D PICシミュレーション

最初のPIC計算
synchrotron maser instability
precursor wave



Langdon, Arons, Max 88 PRL

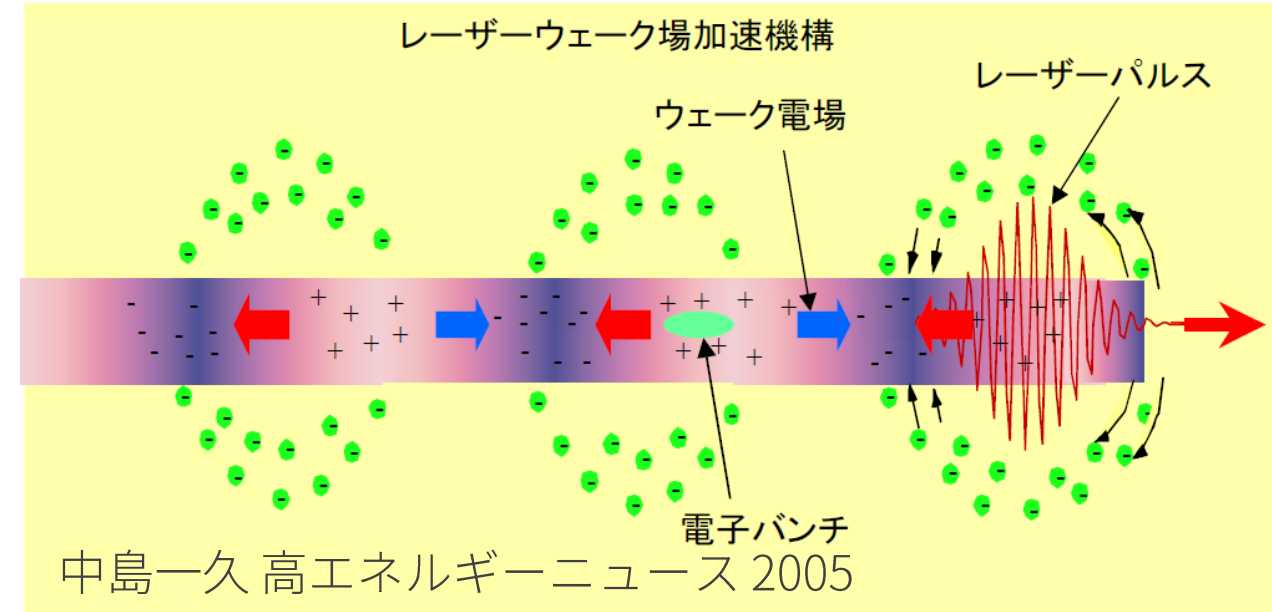
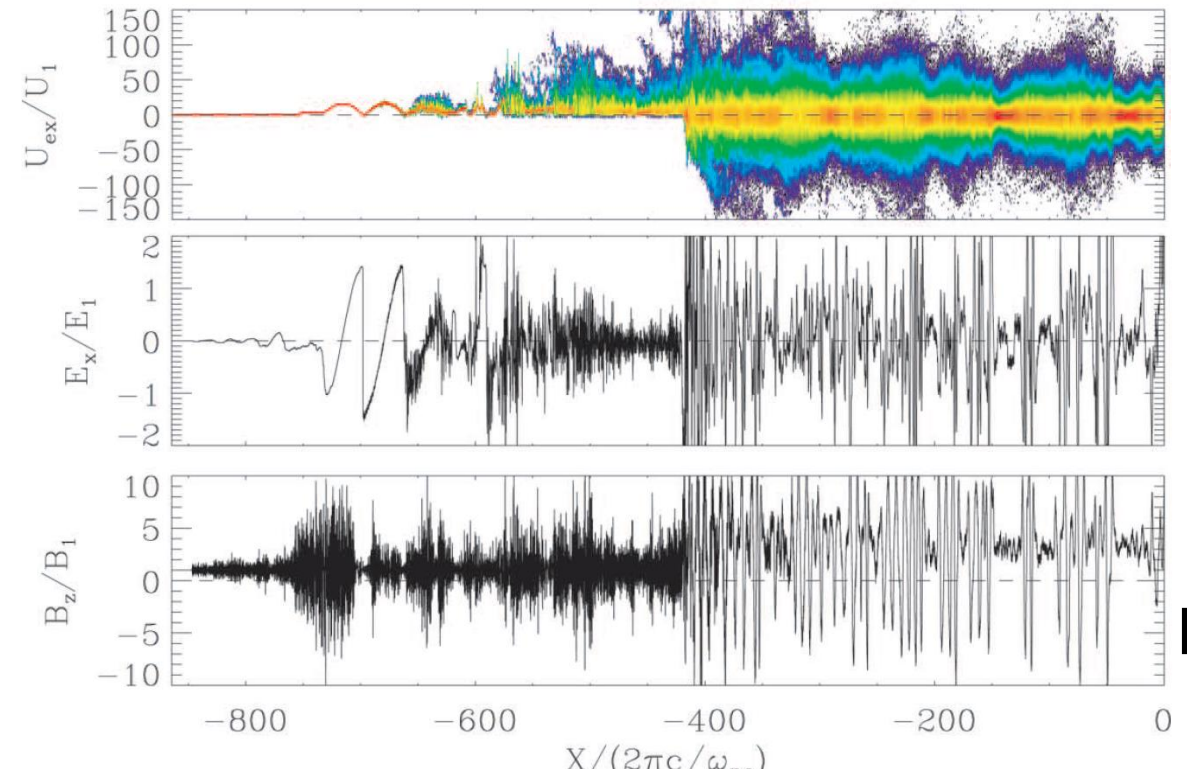
emission efficiencies for
shock magnetizations



Gallant+91 ApJ;
Hoshino+92 ApJ

先駆波励起と航跡場加速 (1D PIC, Lyubarsky06; Hoshino08)

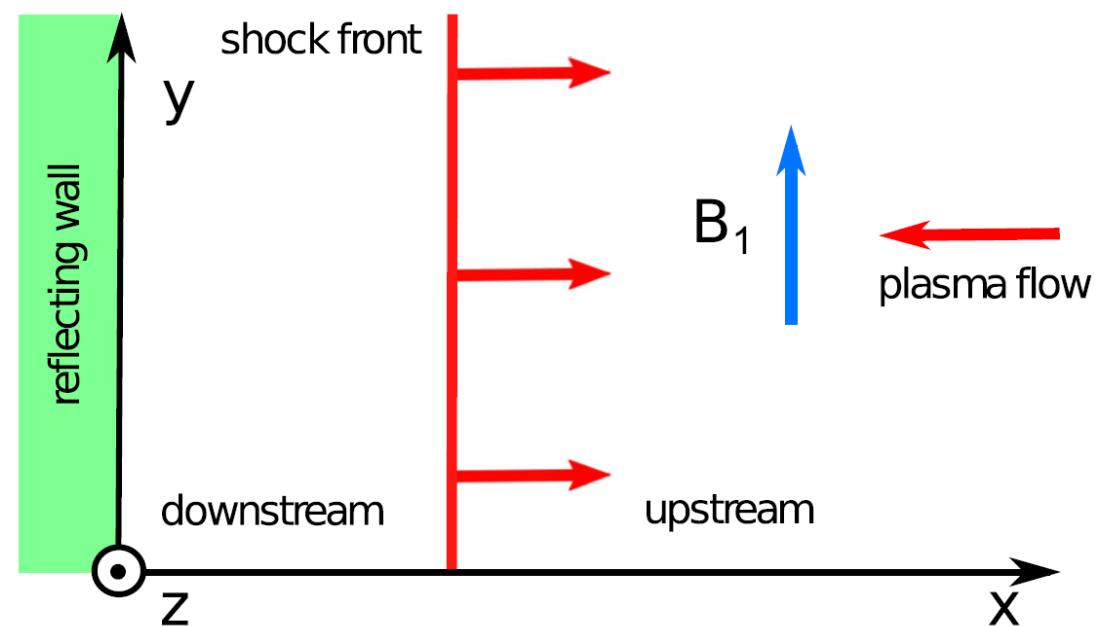
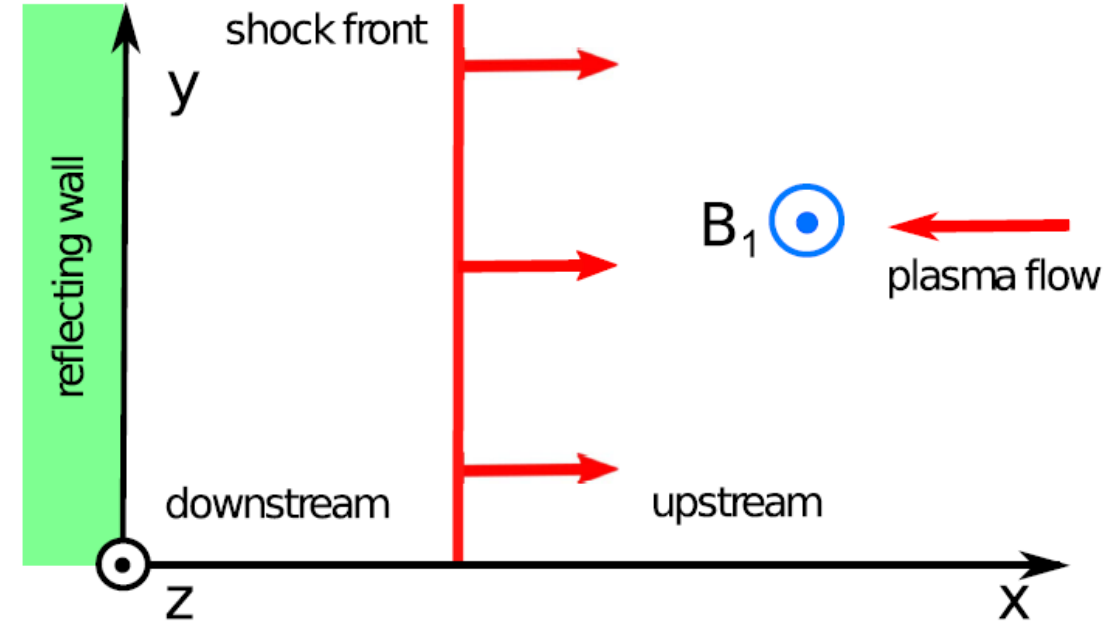
□Tajima & Dawson 79 PRL



- レーザー（光モードの電磁波）のポンデロモーティブ力 ($-\frac{e^2}{4m\omega^2} \nabla E^2(x)$) によって電子が掃きだされ、ウェークに強い静電場（ラングミュア波）が励起
- ラングミュア波とのランダウ共鳴

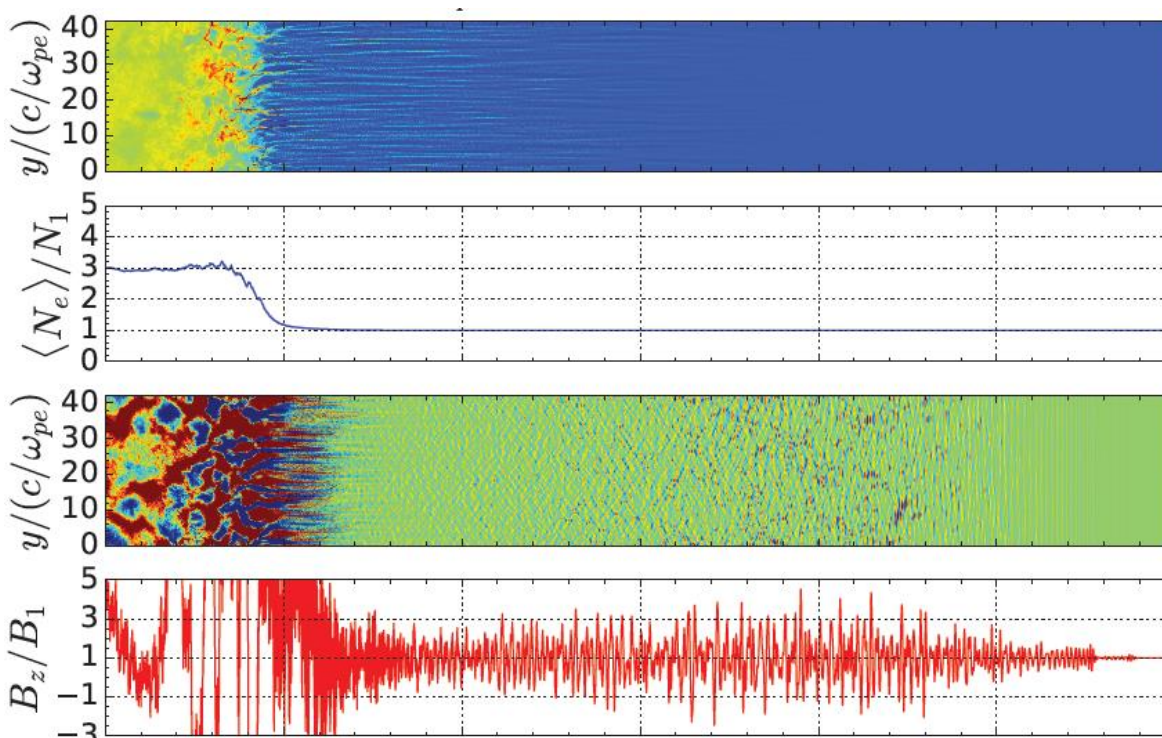
Iwamoto+17;18 ApJ

- 2次元PICシミュレーションでワイベル不安定との競合を調べた
- 上流バルク $\Gamma=40$
- 陽電子-電子系 ($M/m=1$)
- イオンはないので航跡場加速は起きない。Precursor waveの放射効率のみを議論
- マジカルCFL法
- $N=64$ /cell/species
- $dx/(c/\omega_{pe}) = 1/40$ (typically $\sim 1/10$)

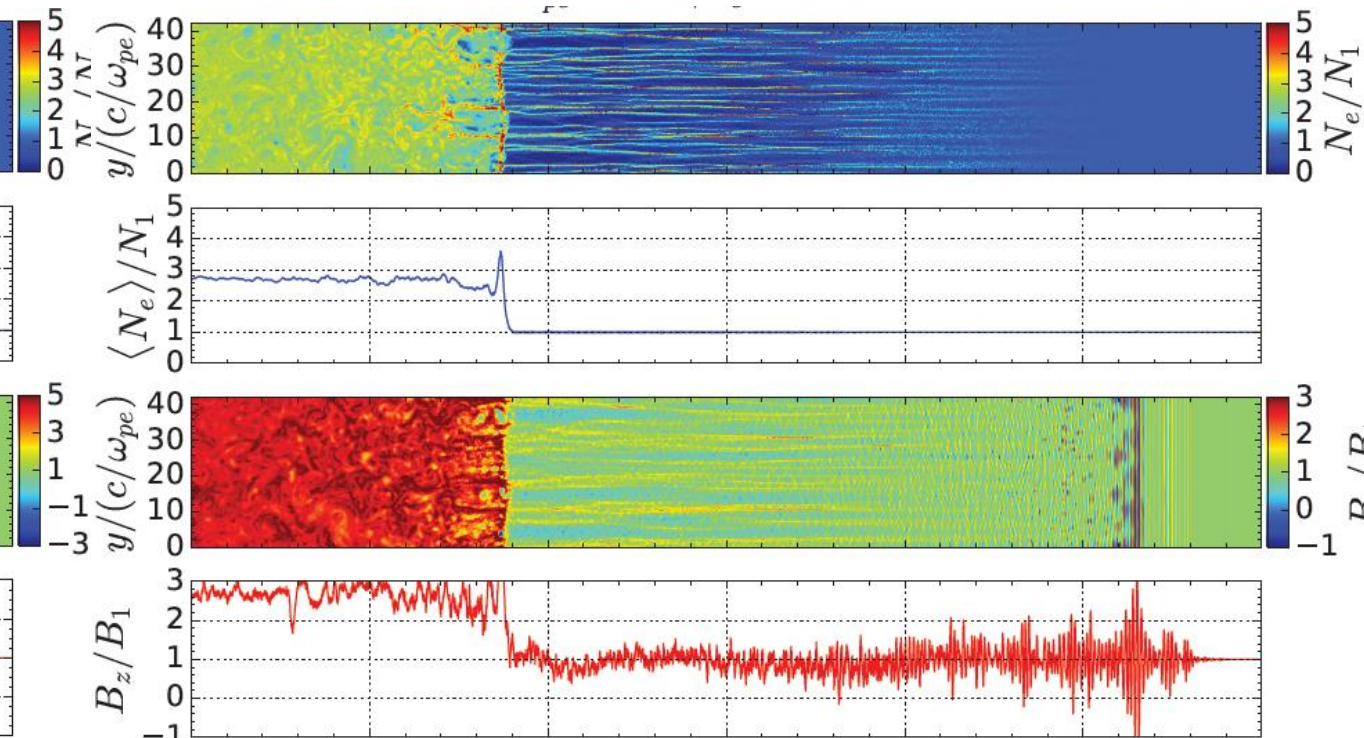


Persistence of precursor waves (out-of-plane B_0)

$$\sigma_e = 3 \times 10^{-3}$$

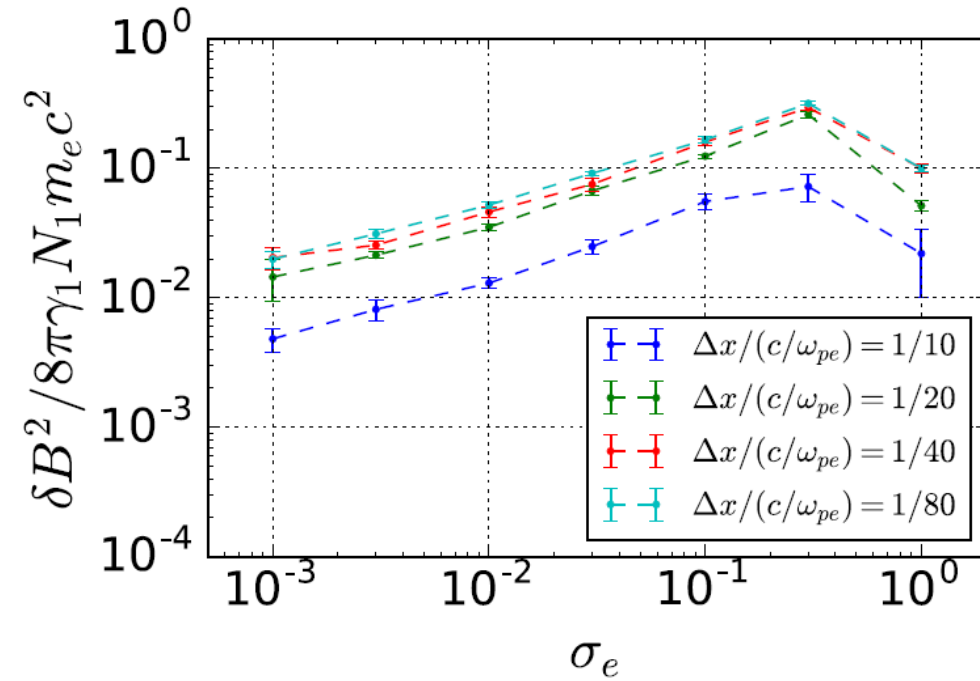
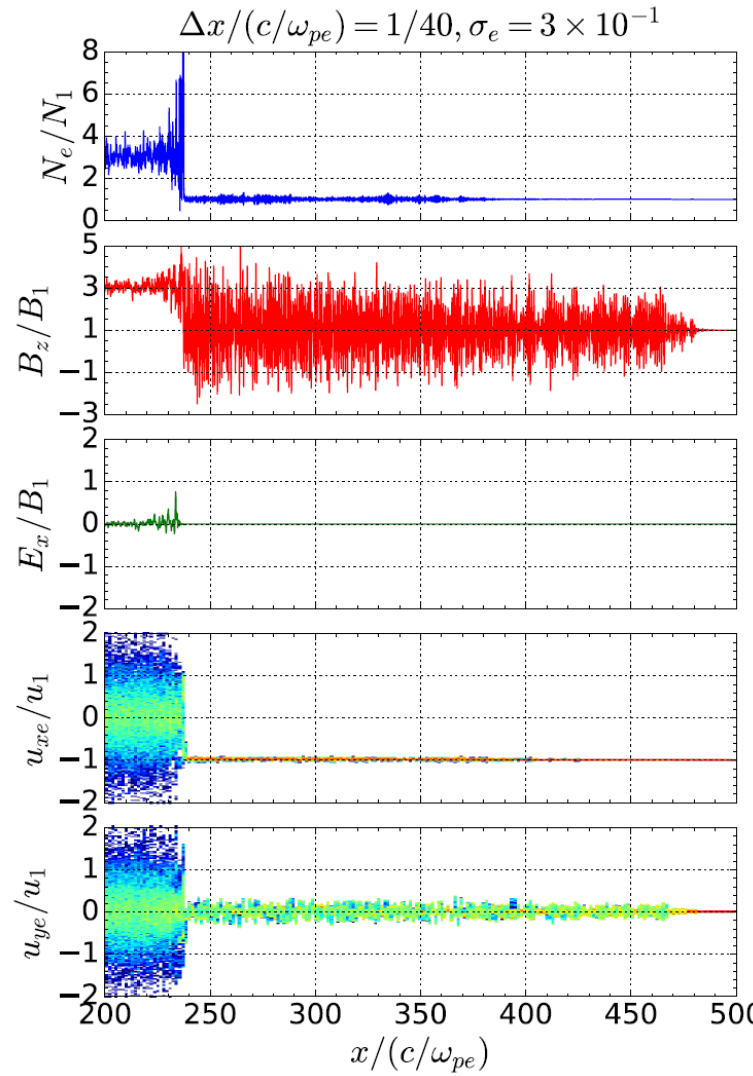
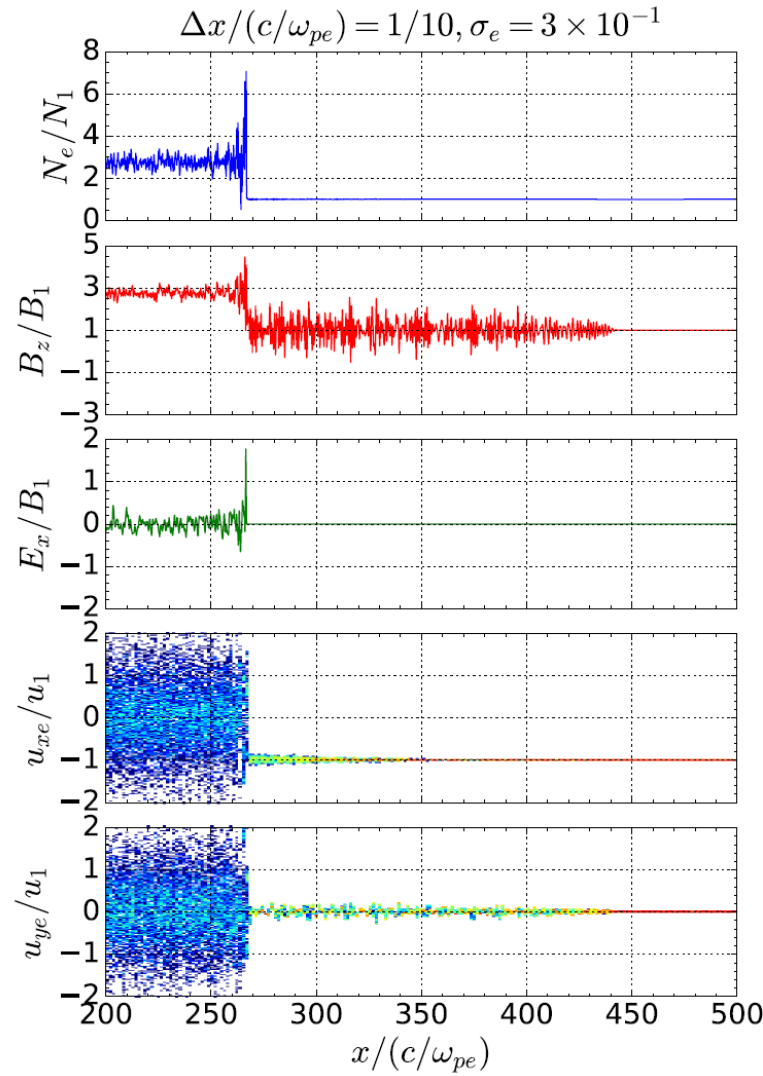


$$\sigma_e = 3 \times 10^{-1}$$

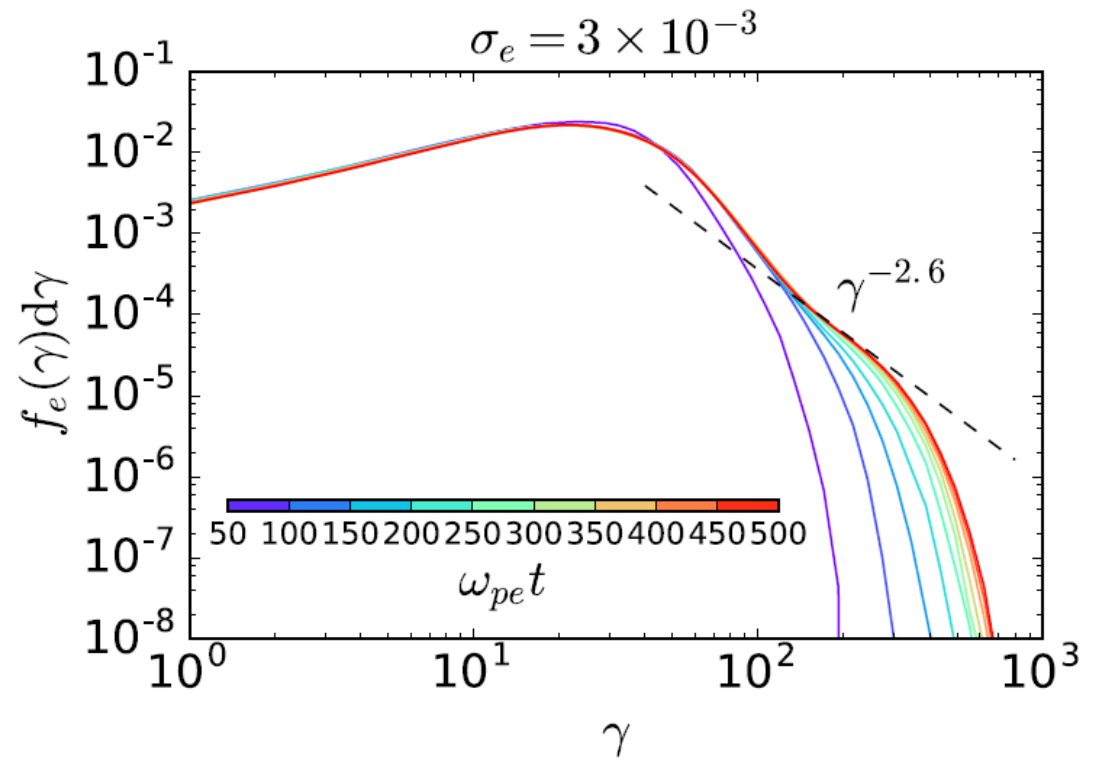
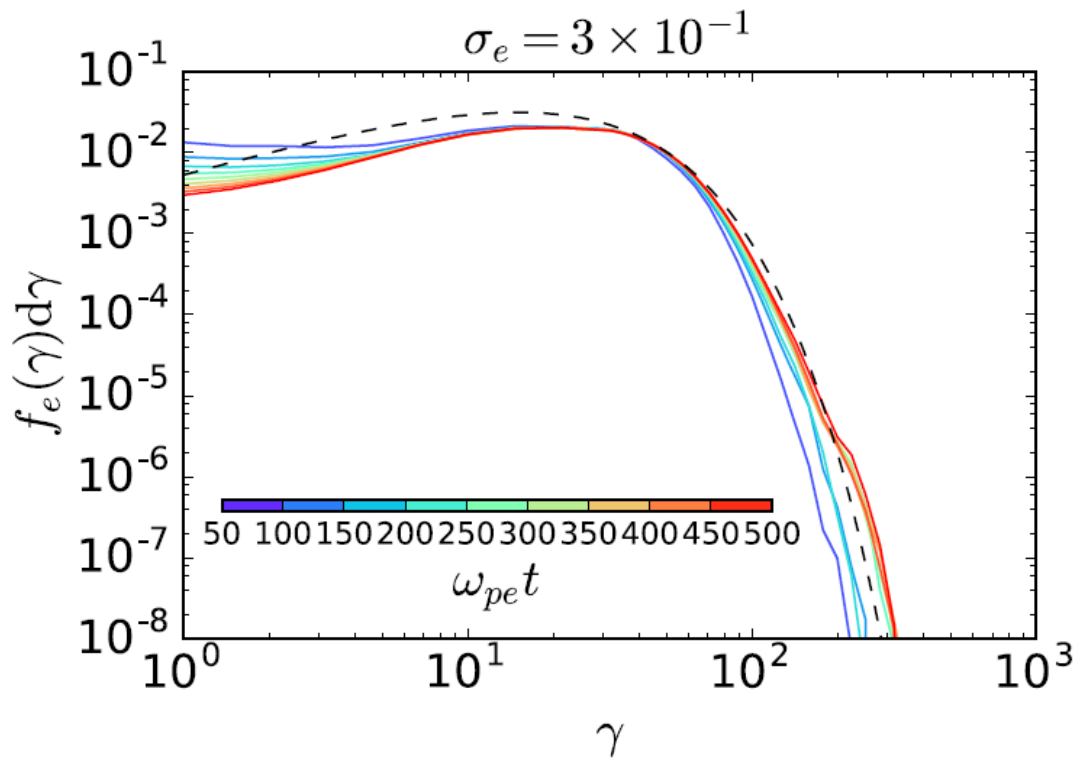


- 多次元計算では放射されないとされていたが (Sironi+11;13) 低 σ でも大振幅の電磁波放射 (ワイベル不安定と共存が可能) !
- 多次元性による効果：電磁波の自己集束による上流密度揺らぎ

解像度依存性

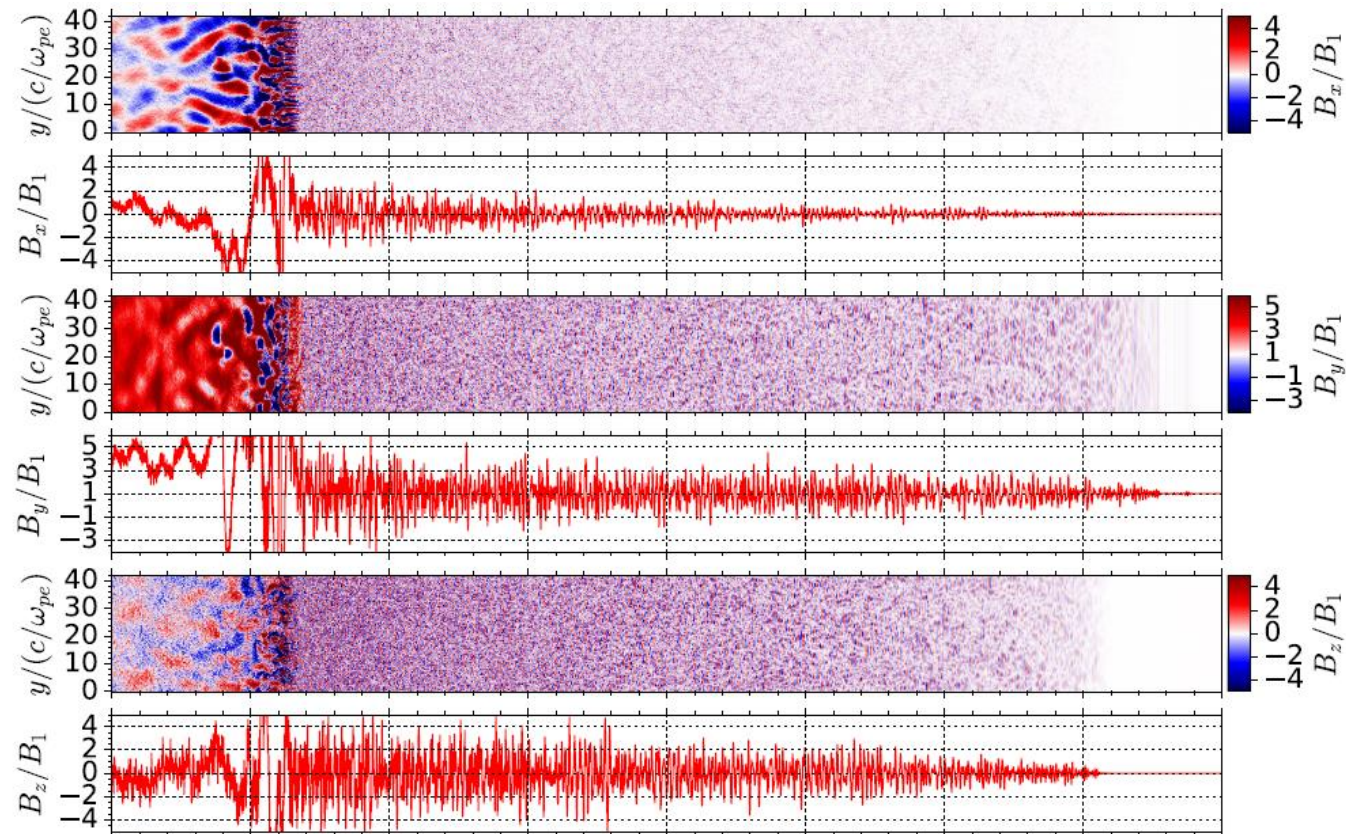


下流のエネルギースペクトル



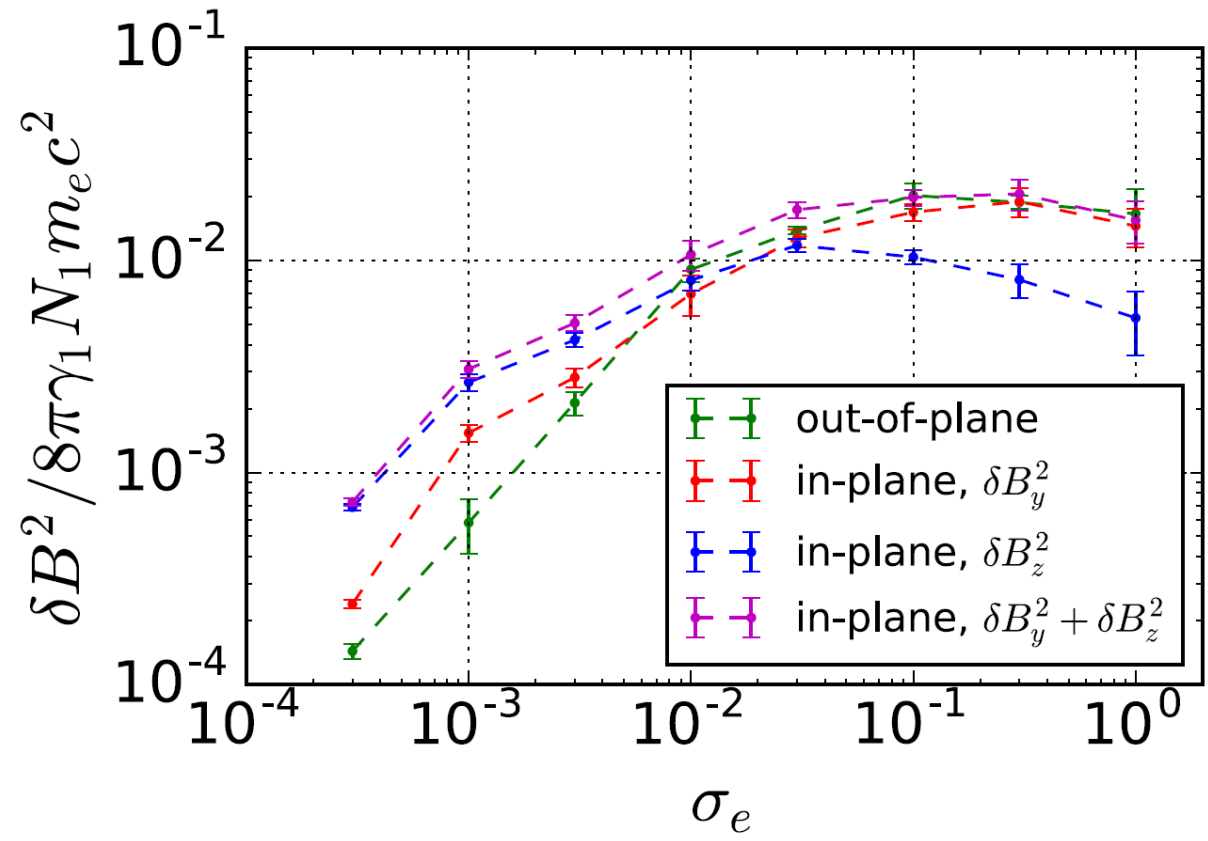
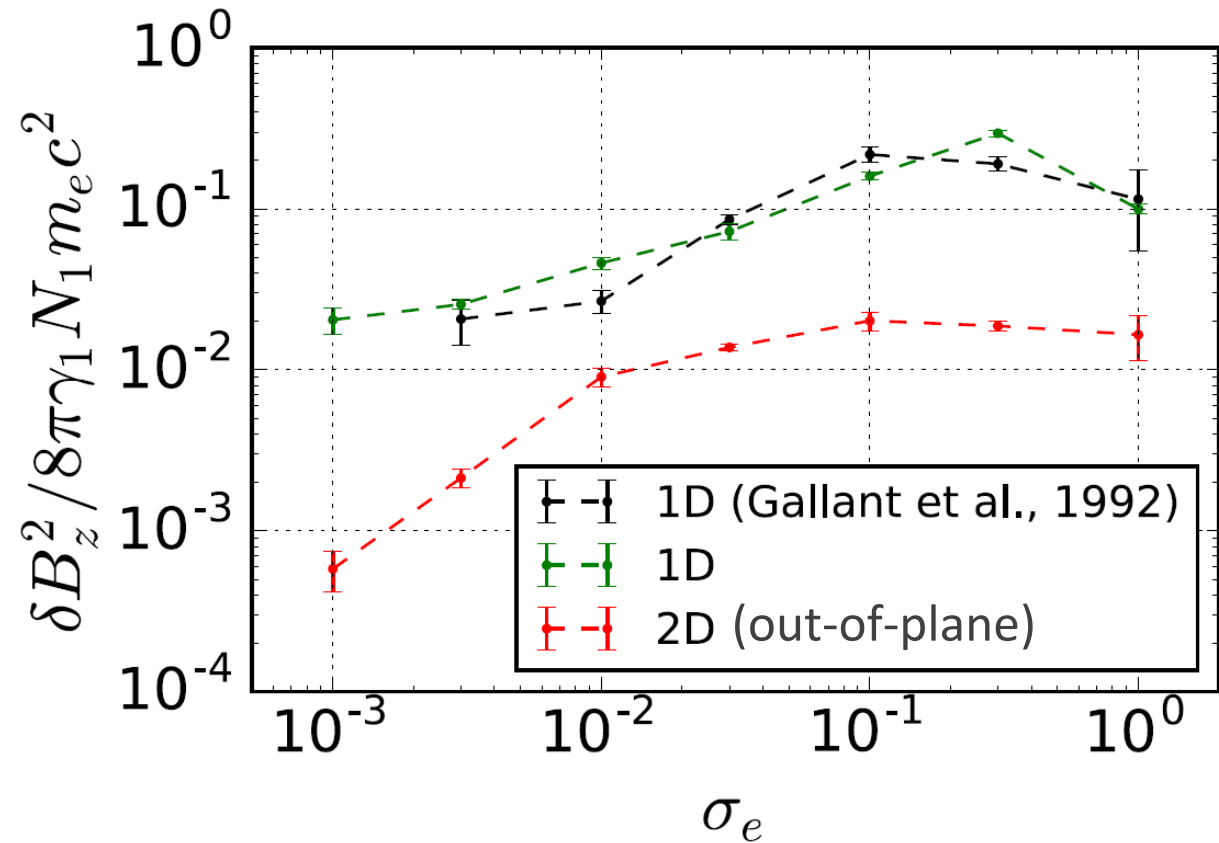
- 陽電子・電子系なので、航跡場加速は起きない
- 低 σ_e での非熱的粒子加速はWeibel乱流によるフェルミ加速 (Sironi+ 13)
- Sironi+13より速い時間スケールでの加速 (マジカルCFL法の恩恵)

Precursor wave emission enhanced by the Weibel instability (in-plane B_0)



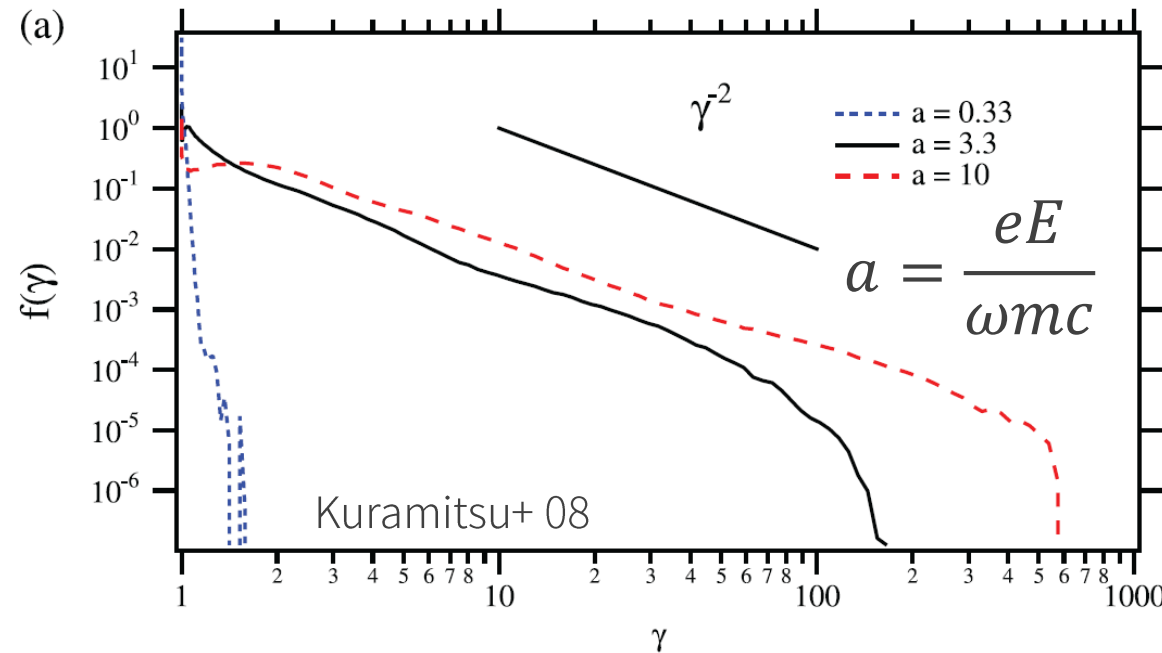
- いわゆるSMIで励起される電磁場 (X-mode) は背景磁場方向に変動成分 (δB_y)
- δB_z 成分も遅れて強い励起 (電磁場O-mode)
- 衝撃波面近傍の強いワイベル磁場が δB_z 成分を生成するため、粒子のジャイロ運動は紙面垂直方向に傾くため、($\delta B_y, \delta B_z$)を励起
- 上流領域 ($B \sim B_y$)でO-modeにモード変換

先駆波の振幅の σ 依存性

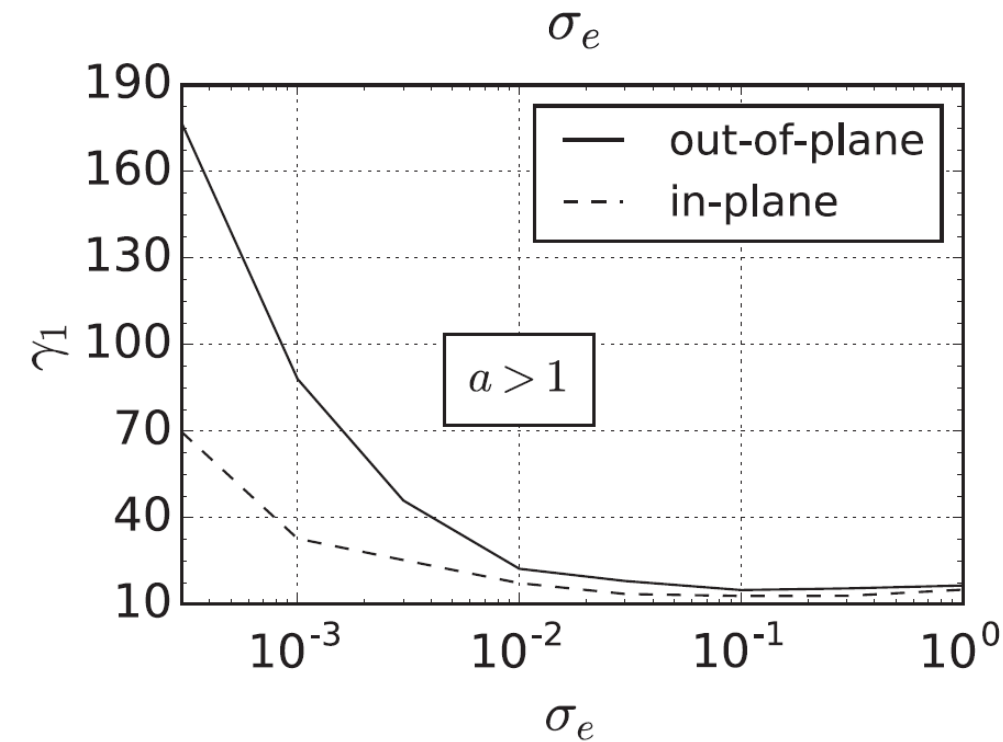
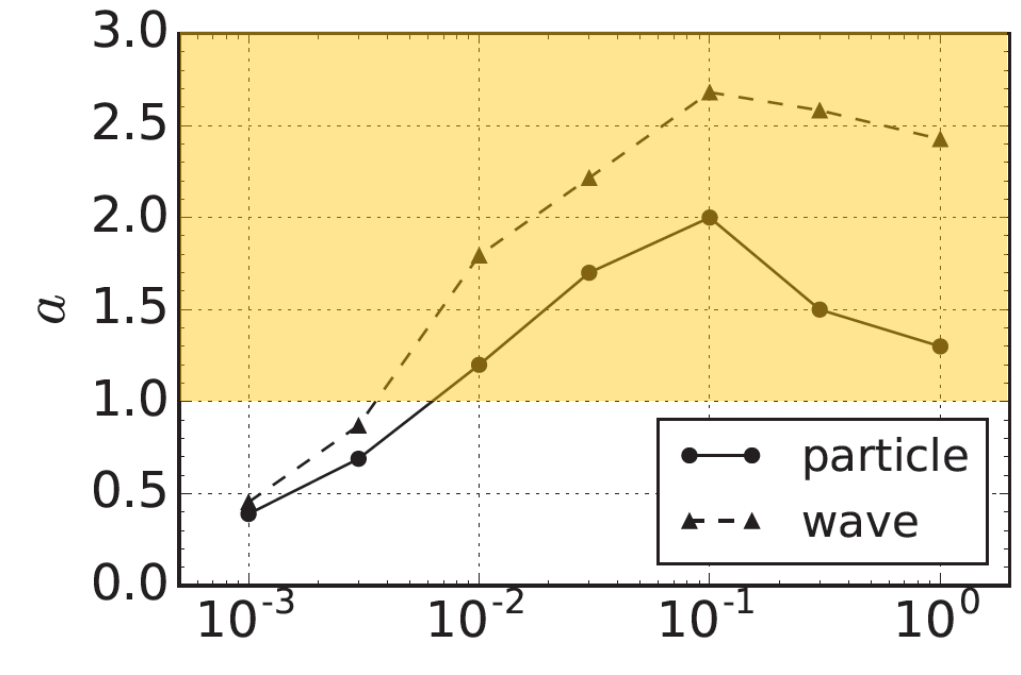


3D計算結果を待ちましょう！

航跡場加速への期待



- Strength parameter $a > 1$ で効率的な航跡場加速 (Kuramitsu+ 08)
- 幅広い σ で $a > 1$ の大振幅電磁波励起が実現



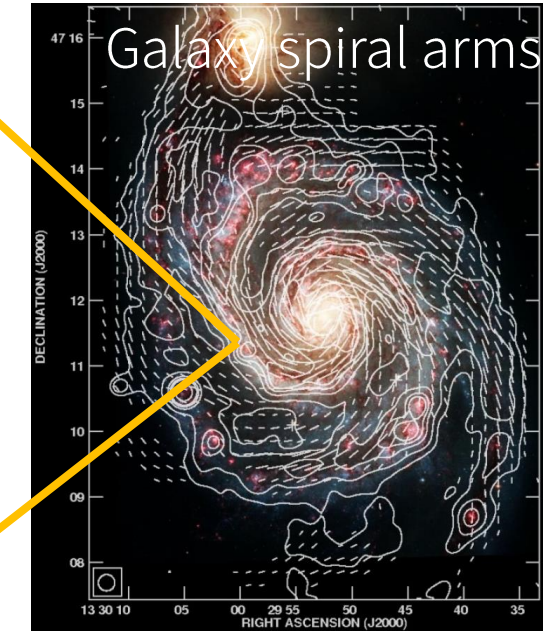
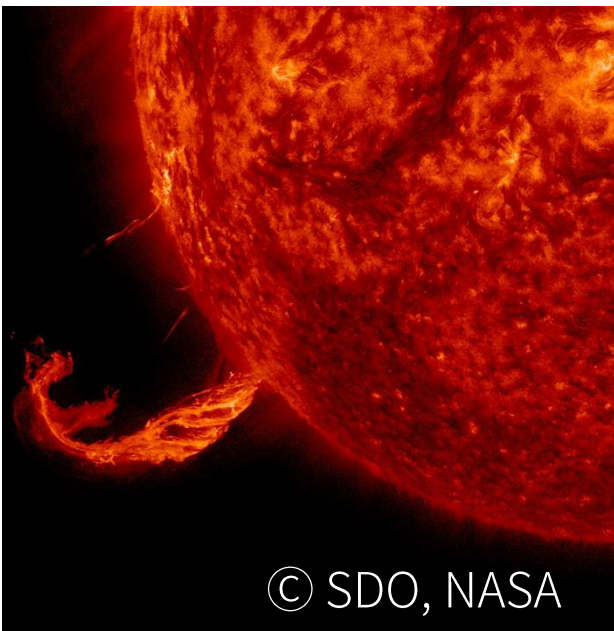
イオンワイベル不安定による 磁場生成と飽和過程

Origin of the seed magnetic field (non-MHD process)

$$\frac{\partial \mathbf{B}}{\partial t} = -c \nabla \times \mathbf{E} = \nabla \times (\mathbf{v} \times \mathbf{B})$$

MHD dynamo
for global magnetic fields

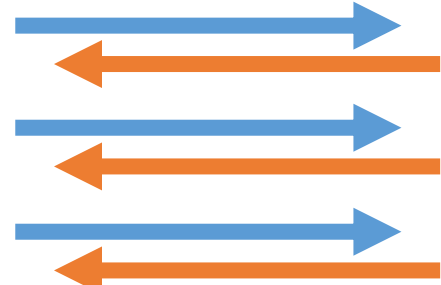
Seed magnetic field?



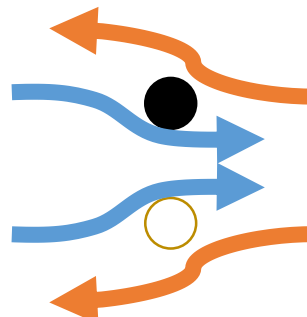
Weibel instability (Weibel, PRL, 1959; Fried, Phys. Fluid, 1959)

Fletcher+11

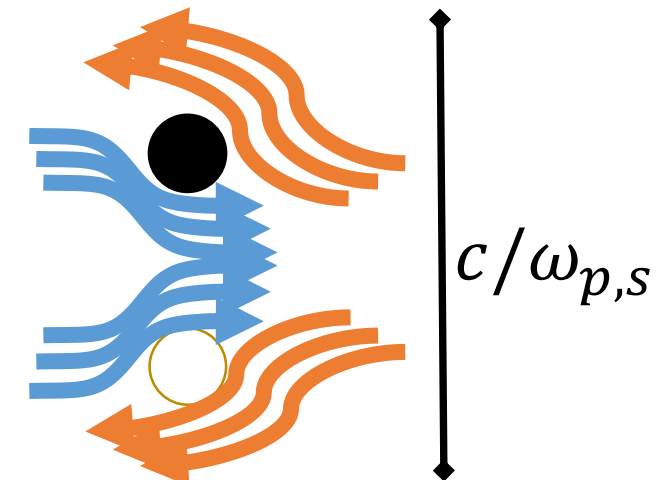
Beams / temperature anisotropy



$$+\delta\mathbf{B}$$

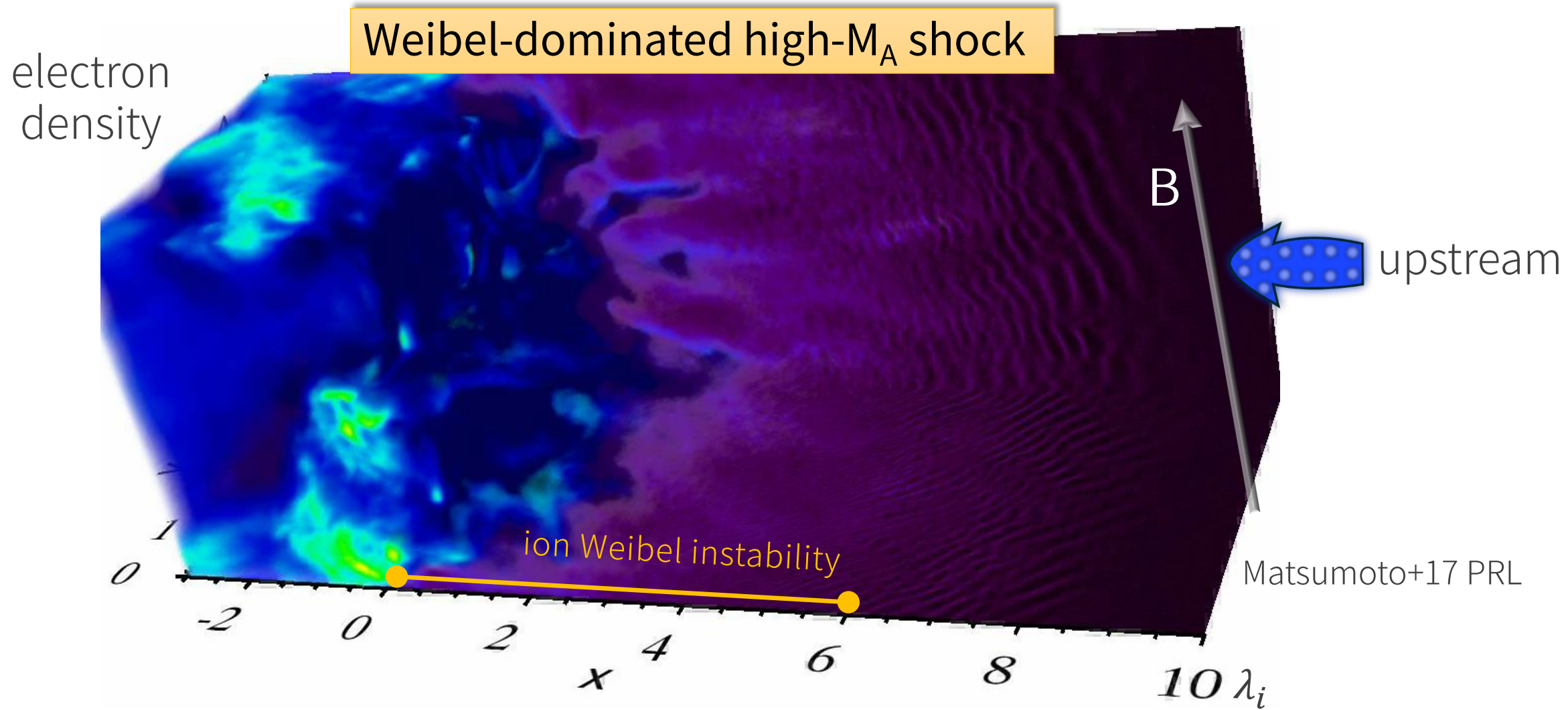


$$\mathbf{j} \rightarrow \nabla \times \mathbf{E}$$

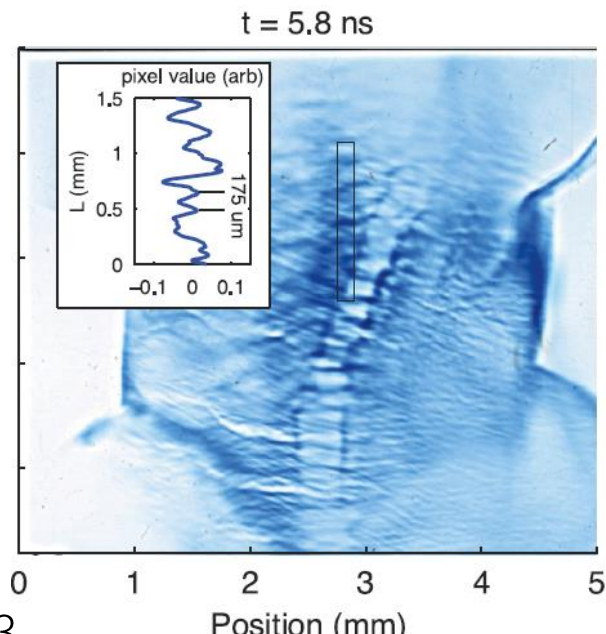
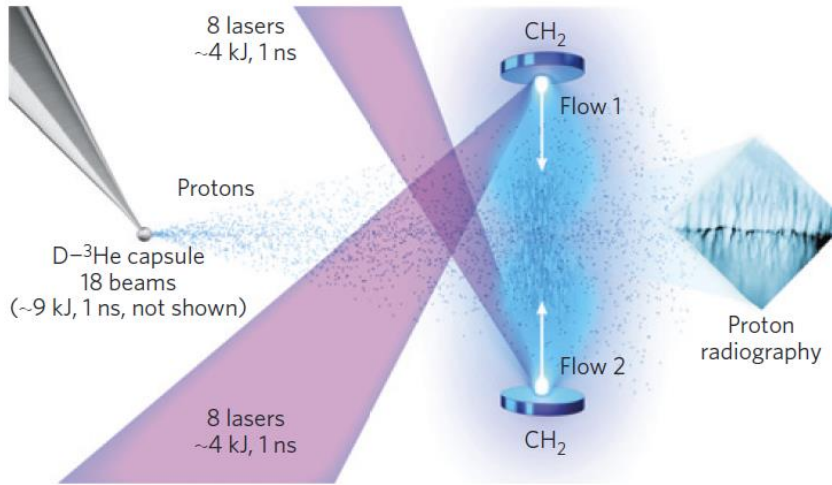
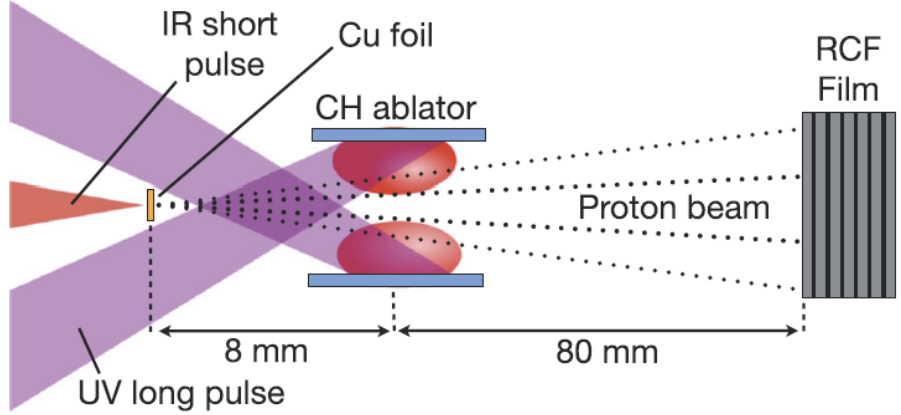


Weibel instability in high-energy astrophysics

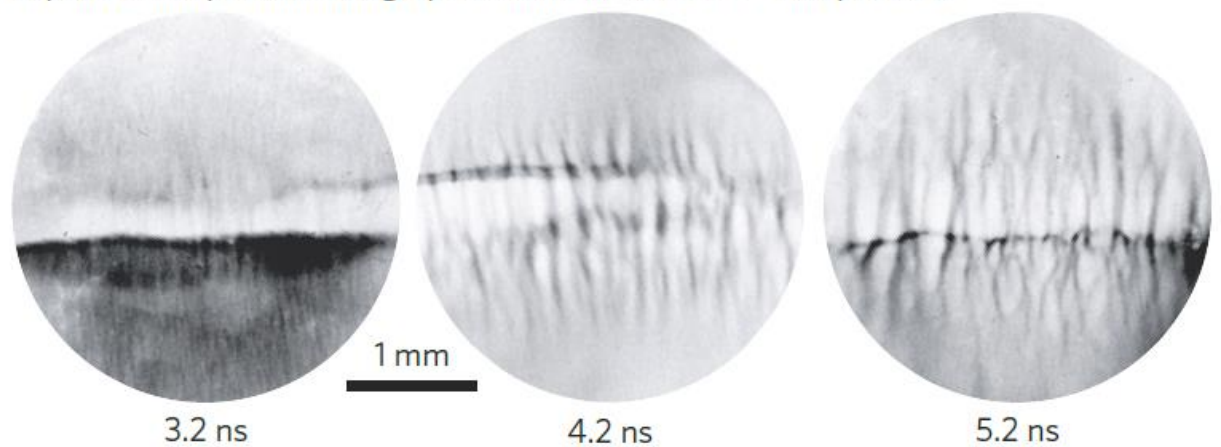
- Weibel-mediated shocks (Kato07; Kato & Takabe08)
- Particle accelerations at shocks (Spitkovsky08; Sironi+11,13; Matsumoto+15,17)



Weibel instability in laboratory experiments



Experimental proton radiographs from 14.7 MeV (D-³He) protons



Saturation mechanisms of the ion Weibel instability \Leftrightarrow maximum magnetic energy

■ Linear growth : ω_{pi}^{-1} , c/ω_{pi}

■ Inverse cascade

✓ coalescence of current filaments with same polarity

✓ $I = j\pi R(t)^2$, $j = \text{const.}$

✓ $R(t) \propto t^2 (\text{M/m})^{-\frac{1}{2}}$ (Ruyer+15;16)

■ Upper limit of the current

✓ Alfvén current limit (Alfvén38)

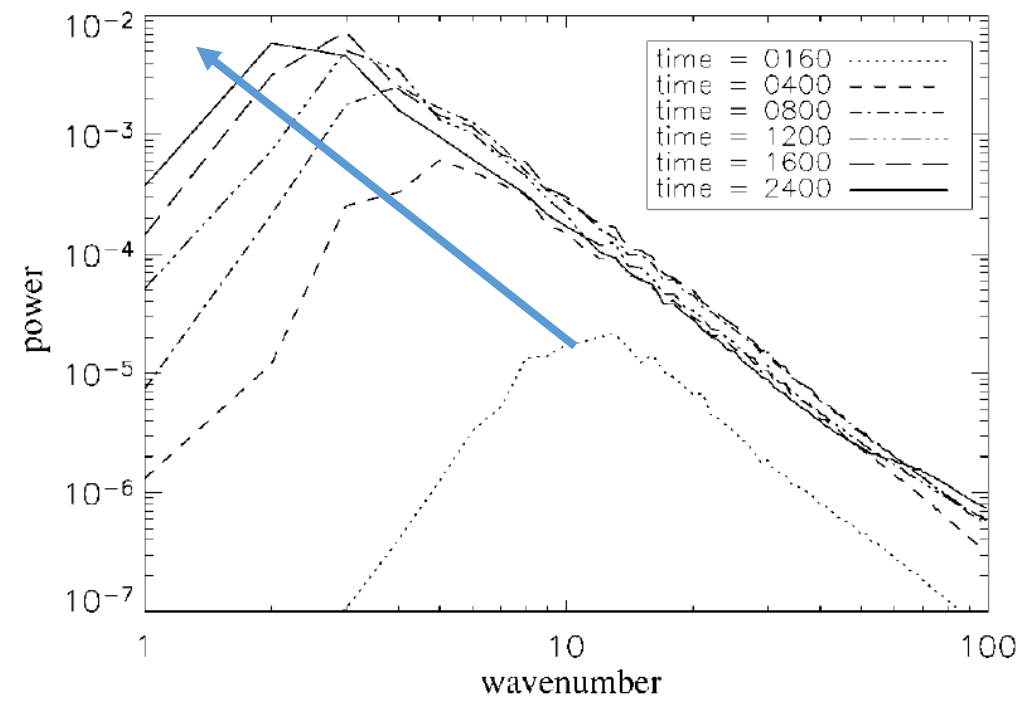
✓ Bio-Savart law

$$B = \begin{cases} \frac{2Ir}{\xi R^2} & (\mathbf{r} < R) \\ \frac{2I}{cr} & (\mathbf{r} > R) \end{cases}$$

✓ When $r_{ge} \sim R(t)$ in self-generated magnetic field

$$I_A = \frac{mc^2\gamma c}{q}$$

✓ Constant I_A with growing R results in monotonic decay of $|B|$ after saturation



Frederiksen+04 ApJL

Alfven current limit in the Weibel instability

- 2D electron-positron plasmas (Kato05 PoP)

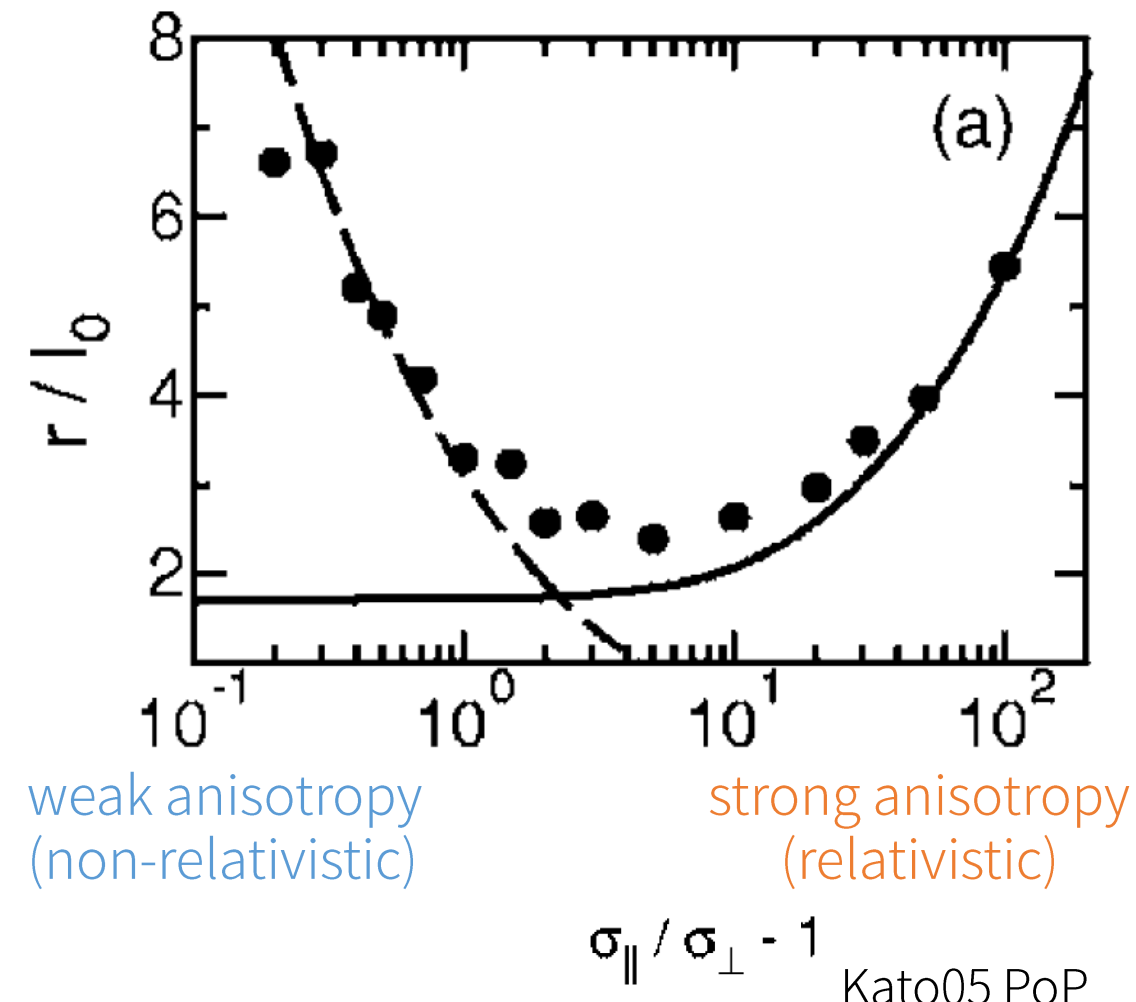
- In the strong anisotropy, $I_A = \pi R^2 q n \beta c$ gives the filament size at saturation as

$$r_p \sim 2\sqrt{\gamma} \frac{c}{\omega_{p,s}}$$

- Magnetic field energy at saturation:

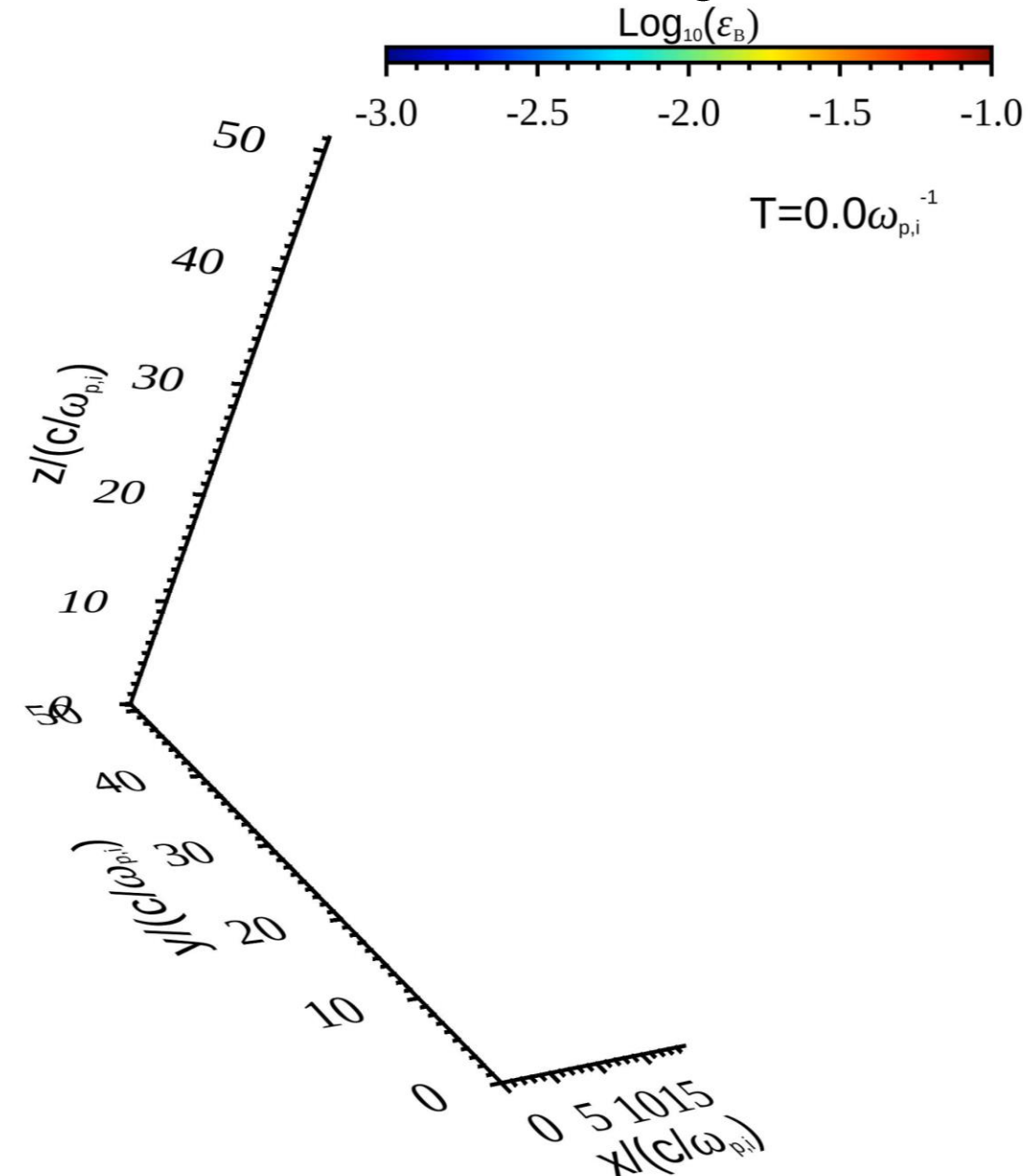
$$\epsilon_B = \frac{B_{max}^2}{8\pi\gamma\rho c^2} \text{ with } B_{max} = \frac{2I_A}{cr_p}$$

$$\Rightarrow \epsilon_B \sim \frac{\beta^2}{2} \sim \frac{1}{2}$$

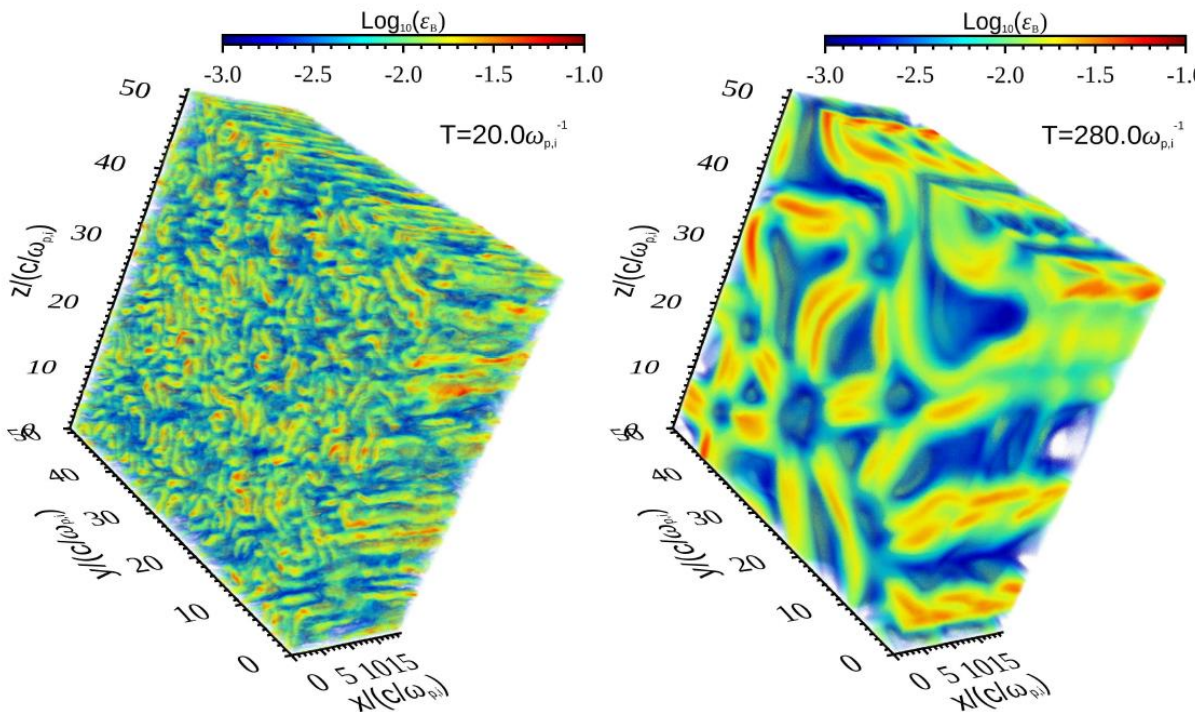


Saturation of the Ion Weibel instability

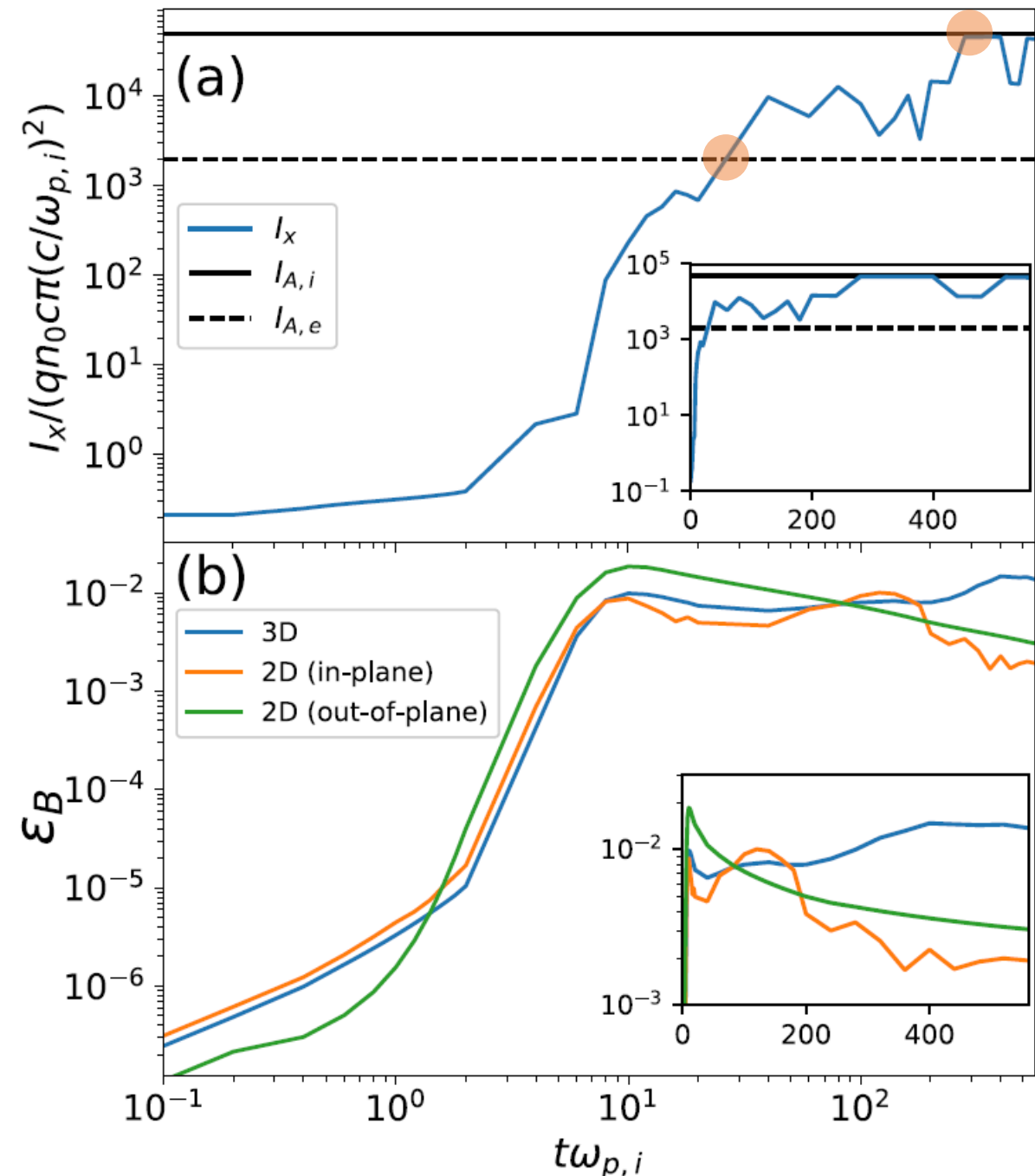
- $M/m=25$, relativistic cold beams ($\Gamma=5$) in a periodic box
- $(N_x, N_y, N_z) = (1000, 2560, 2560)$
- $(L_x, L_y, L_z) = (20, 51.2, 51.2) c/\omega_{pi}$
- 10 ptcls/cell/species
- 131,072 processor cores with 200TB memory on the K computer
- $\epsilon_B = B^2/8\pi\rho_0c^2(\gamma - 1) \Rightarrow$



Time evolution

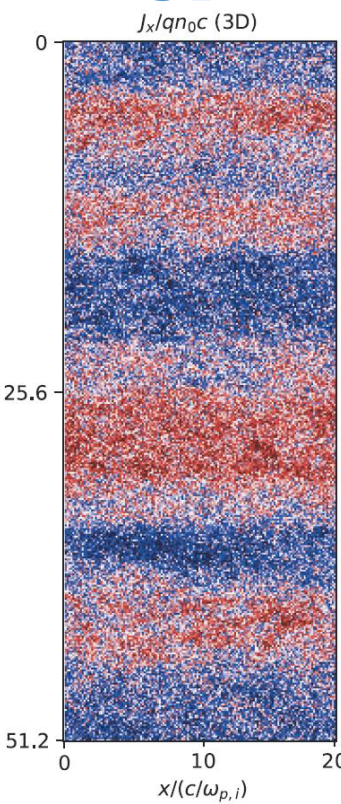


- ❑ First to present true saturation of the ion Weibel instability reaching Alfvén current limit
- ❑ 3D ion Weibel instability could sustain strong magnetic field ($\epsilon_B \sim 1.5\%$) after saturation (contrary to the rapid decay in 2D)

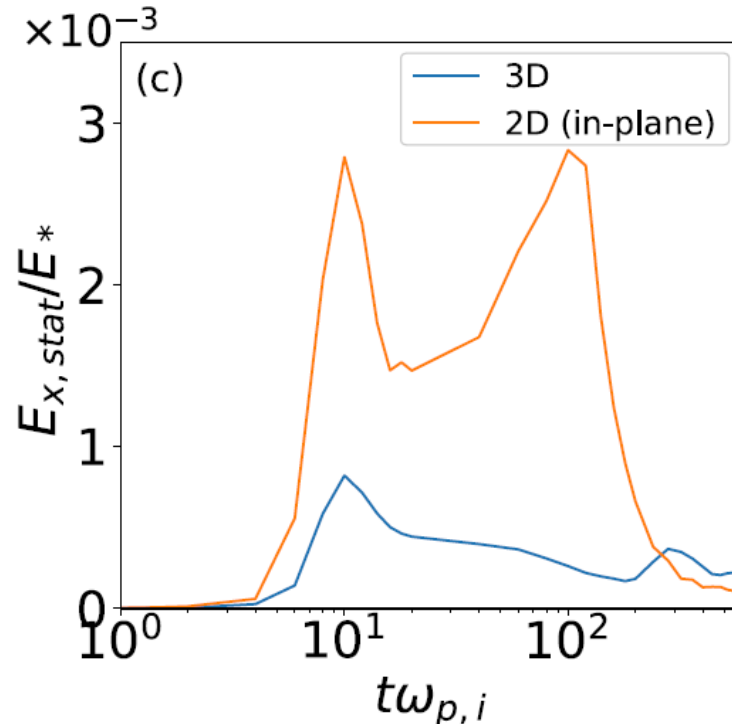
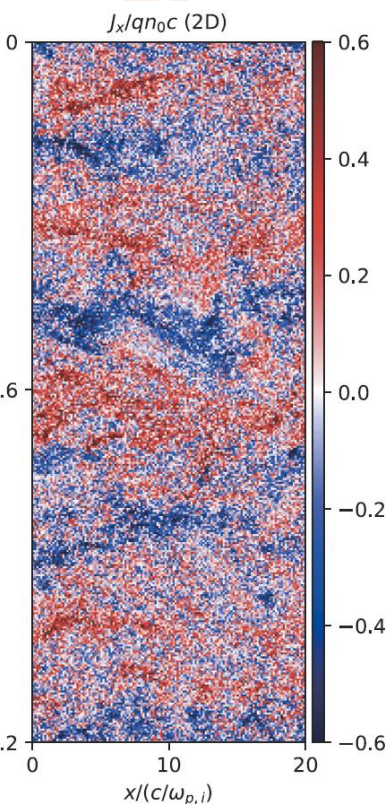


3D vs. 2D in-plane

3D



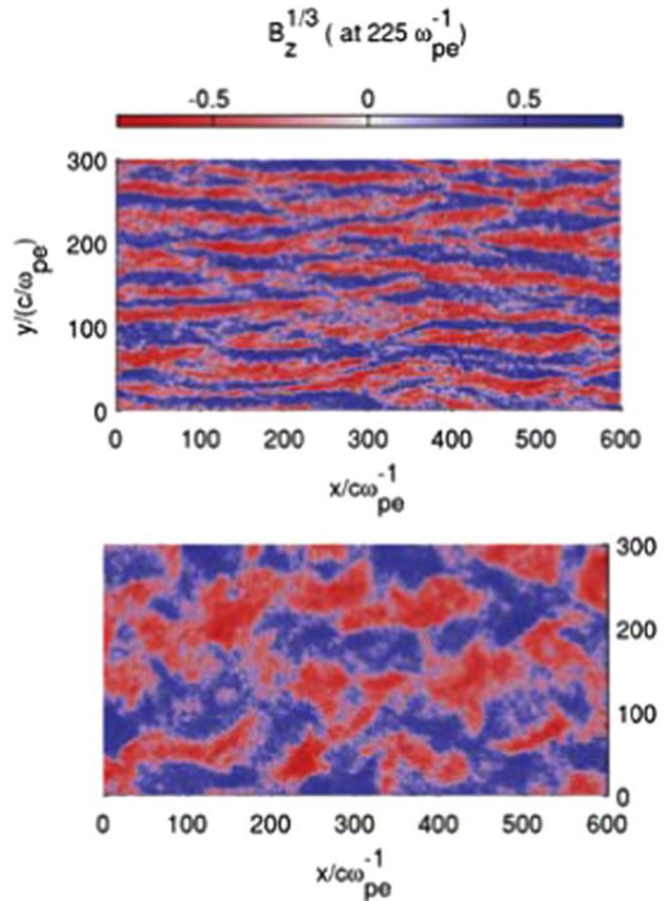
2D



Takamoto+18ApJL

breakup of filaments
in 2D in-plane case

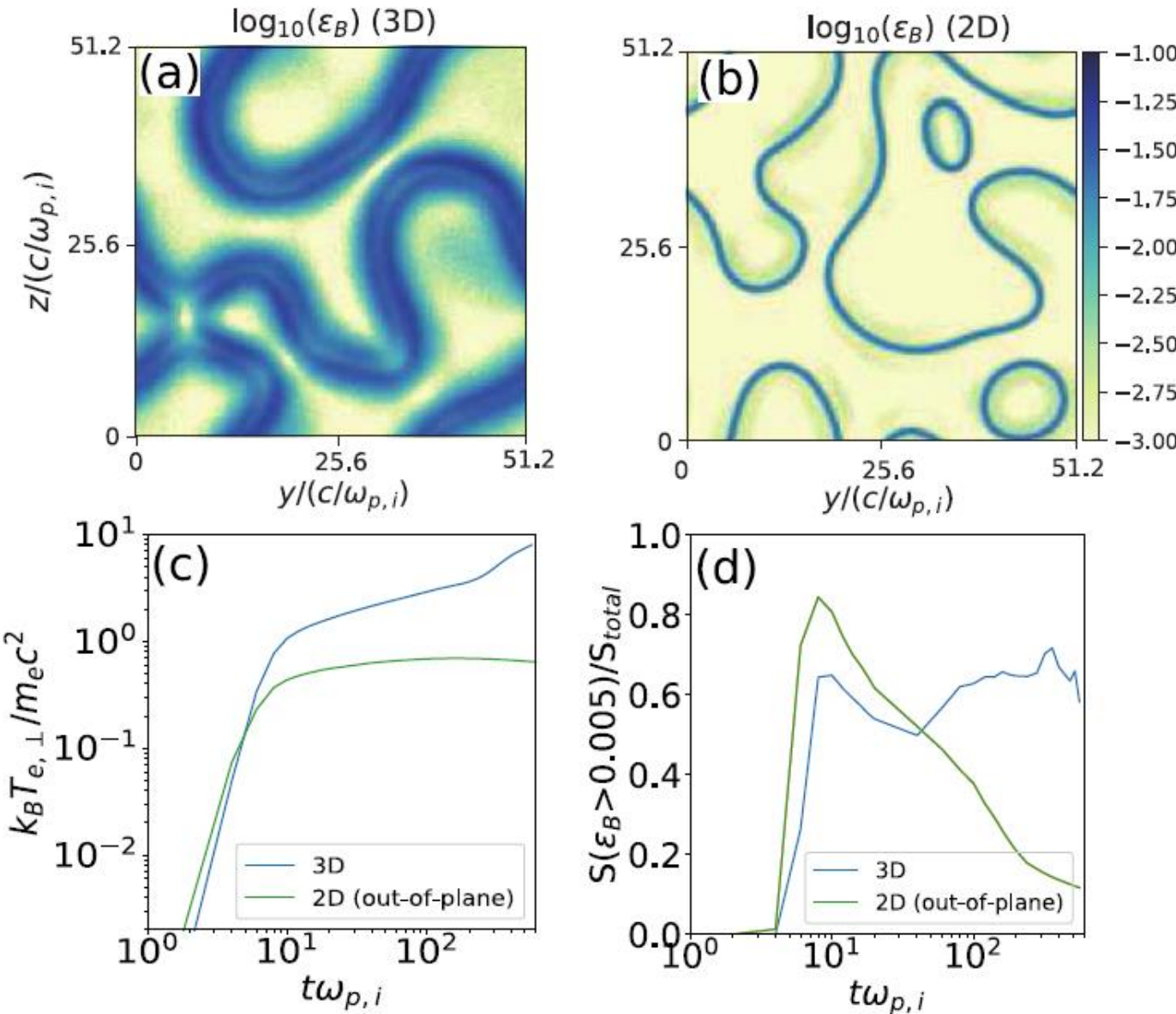
$$B_z^{1/3} \text{ (at } 225 \omega_{pe}^{-1} \text{)}$$



Kumar+15ApJ

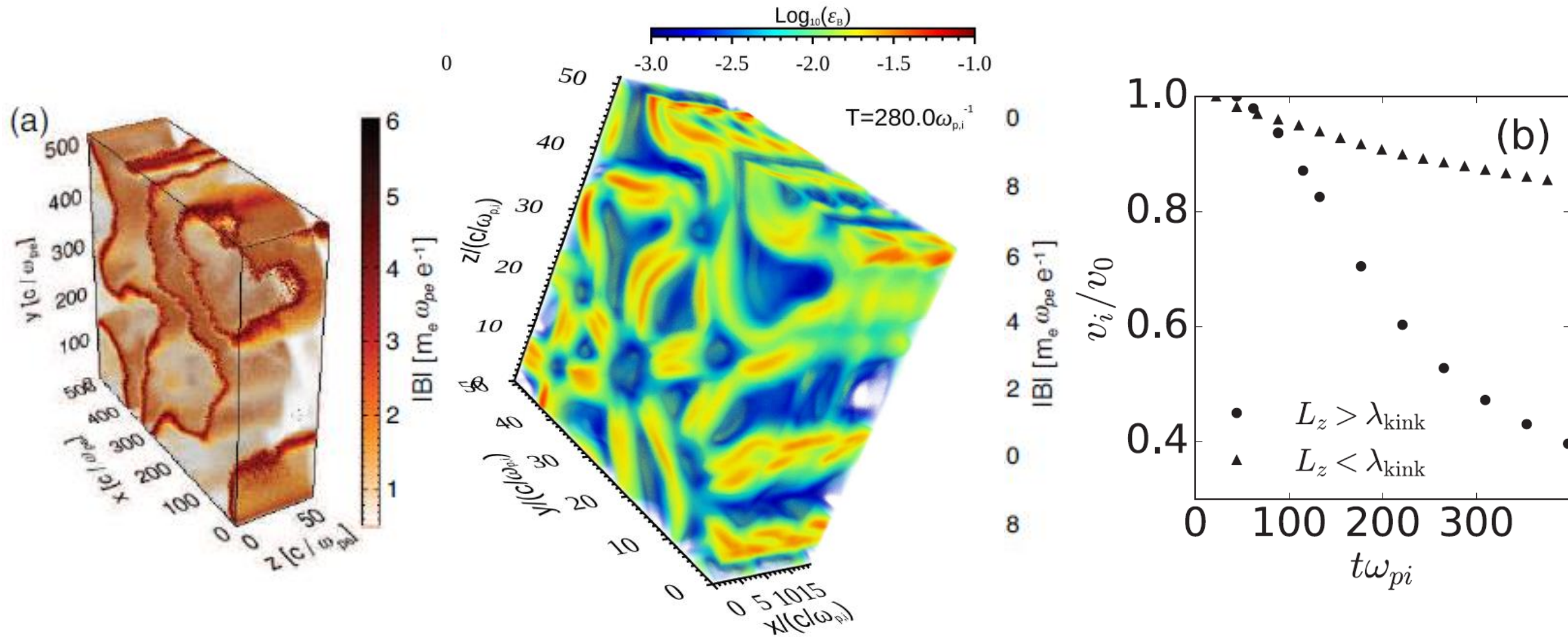
Dimensional limitation could cause two-stream electrostatic instabilities, resulting in breakup of current filaments in the 2D in-plane case (cf. Kumar+15)

3D vs. 2D out-of-plane



- Larger filling factor of large ε_B regions in 3D
- Continuous electron heating during coalescence of filaments un-magnetized electrons with relativistic temperature ($T_e \sim 10mc^2$)
- Relativistically hot electrons contributed ion-scale magnetic field generation

ion Weibel vs. Kink mode



Ruyer and Fiúza, PRL, 2018

まとめ

- Ikeya & Matsumoto15で開発したマジカルCFL法で、実用上数値チエレンコフ不安定問題は解決し、相対論的衝撃波の多次元構造が急速に明らかになりつつある
- Precursor waveの相対論的衝撃波面からの放射は幅広いで普遍的に存在している (Iwamoto+17; 18)
- イオン・電子系での航跡場加速 (Iwamoto+, in prep.)
- イオン・電子系での乱流リコネクション加速 ($\sigma \ll 1$, cf. Matsumoto+ 15 Science)
- 超相対論的衝撃波 ($\Gamma > M/m$) では、イオン加速も
- 3次元計算もしたい…けど「京」は来年度中に運用停止

Post-K supercomputer

- Next generation Japanese flagship supercomputer
- Present-K operation will terminate in FY2019
- Operation will start in 2021 (Approved to proceed to manufacturing phase from CPU design phase)
- No accelerator!
- CPU: Arm, 48cores, 512bitSIMD, 2.7TFlops
- Memory: HBM2 high band-width memory, but <1GB/core (32GiB/cpu)
- B/F=0.37 : high as GPUs
- Total Flops < 1Exa Flops, but x100 application speed up
- expected # of CPUs: $1\text{EFlops}/2.7\text{TFlops} \sim 3\times 10^5$ ($\sim 10^7$ cores)

